

Tehnike merenja podataka za neutronske nuklearne reakcije i eksperimentalno određivanje parametara strukture atomskog jezgra

Nikola Jovančević

Departman za Fiziku, PMF, Novi Sad

Sadržaj

1. Važnost merenja nuklearnih podataka; baze podataka
2. Efikasni presek za neutronima indukovaniu fisiju ^{242}Pu u energetskom opsegu od 15 MeV do 20 MeV
3. Funkcije efikasnih preseka za neutronske reakcije na izotopima renijuma u energetskom opsegu 13.0 -19.5 MeV
4. Modelovanje neutronskog spektra na osnovu aktivacione analize
5. Određivanje parametara nuklearne strukture metodom merenja dvostepenih gama kaskada nakon neutronskog zahvata

Potreba za nuklearnim podacima

- **Osnovna istraživanja**

Struktura atomskog jezgra, nuklearne reakcije, neutrinska fizika

- **Medicina**

primena radionuklida u dijagnostičke i terapijske svrhe

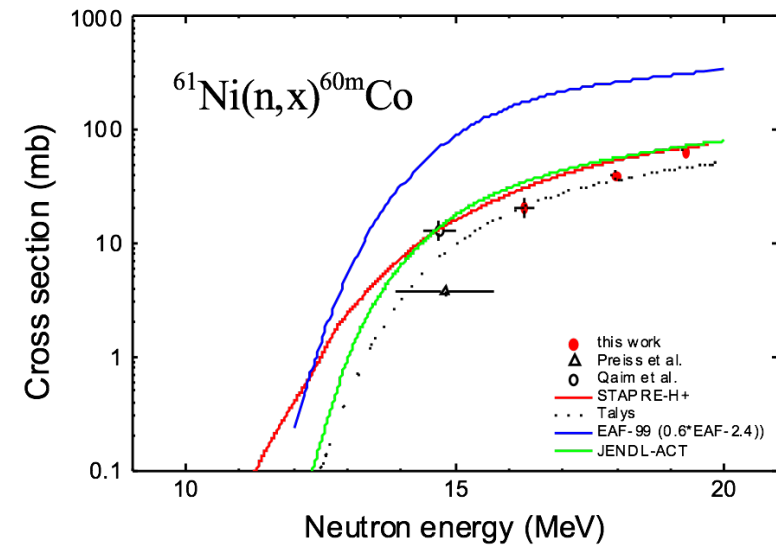
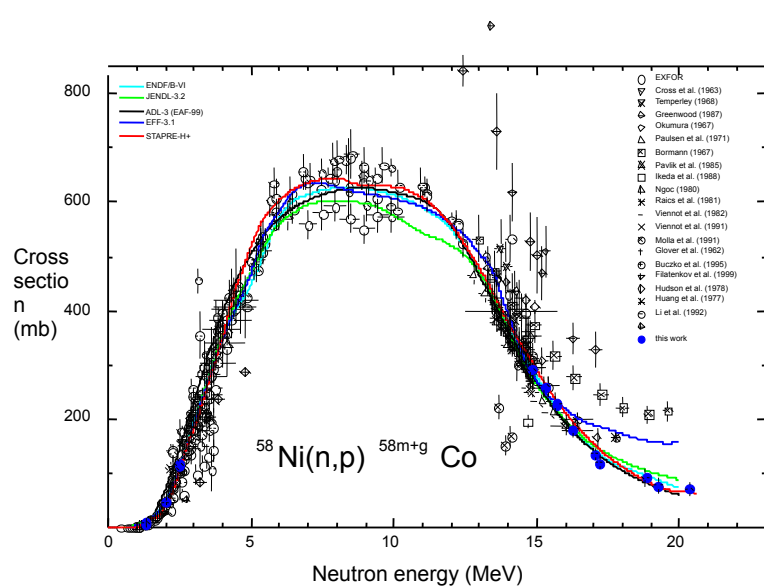
- **Astrofizika**

- **IV generacija nuklearnih reaktora**

novi dizajn fisionih i prvi fuzioni reaktor ITER

Potreba za nuklearnim podacima

- Oko 10000 uobičajenih nuklearnih reakcija
- IAEA - 255 neutronskih reakcija važnih za različite primene
- 100 od njih ima 5 ili manje merenih vrednosti za efikasni presek



Baze podataka

- <https://www-nds.iaea.org/>
- <https://www.nndc.bnl.gov/>

International Atomic Energy Agency
Nuclear Data Services
Provided by the Nuclear Data Section

IAEA.org | NDS Mission | About Us | Mirrors: India | China
Search Go

Hot Topics » ENDF/B-VII.1 • TENDL-2014 • JENDL-4.0u2 • IBANDL News » Damage cross section database extended by SS-316 and Eurofer

NEW New NDS Mirror-site in Russia: <http://www-nds.atomstandard.ru/>
URR-PACK - Calculating Self-Shielding in the Unresolved Resonance Energy Range [\[page\]](#)
GRUCON - ENDF Data Processing Package [\[page\]](#)

Quick Links

- Request CD/DVD with documentation, data, codes, etc.
- ADS-Lib
- Atomic Mass Data Centre
- CINDA
- Charged particle reference cross section
- DROSG-2000
- DXS
- EMPIRE-3.2
- ENDF Archive
- ENDF Retrieval
- ENDF-6 Codes
- ENDF-6 Format
- ENVER
- ENSDF
- ENSDF ASCII Files
- ENSDF programs
- EXFOR
- Electron and Photon Interaction Data
- GRUCON

Main All Reaction Data Structure & Decay by Applications Doc & Codes Index Events Links News

EXFOR Experimental nuclear reaction data **LiveChart of Nuclides** Interactive Chart of Nuclides **CINDA** Nuclear reaction bibliography

ENDF Evaluated nuclear reaction libraries **ENSDF** evaluated nuclear structure and decay data (+XUNDL) ** **NSR** Nuclear Science References *

NuDat 2.6 selected evaluated nuclear structure data ** **RIPL** reference parameters for nuclear model calculations **IBANDL** Ion Beam Analysis Nuclear Data Library **Charged particle reference cross section** Beam monitor reactions

PGAA Prompt gamma rays from neutron capture **FENDL** Fusion Evaluated Nuclear Data Library **Photoneuclear** cross sections and spectra up to 140MeV **IRDF** International Reactor Dosimetry and Fusion File

NAA Neutron Activation Analysis Portal **Safeguards Data** recommendations, August 2008 **Medical Portal** Data for Medical Applications **Standards**
- Neutron cross-sections, 2006
- Decay data, 2005

*Database at the IAEA, Vienna **Database at the US NNDCC

IAEA Nuclear Data Section

IAEA-NDs Mission, Staff and more A+M Atomic and Molecular Data Meetings Workshops Newsletters Coordinated Research Projects NRDC Nuclear Reaction Data Center Network NSDD Nuclear Structure & Decay Data Network Technical Documents INDC Reports Publications Computer Codes

Mirrors

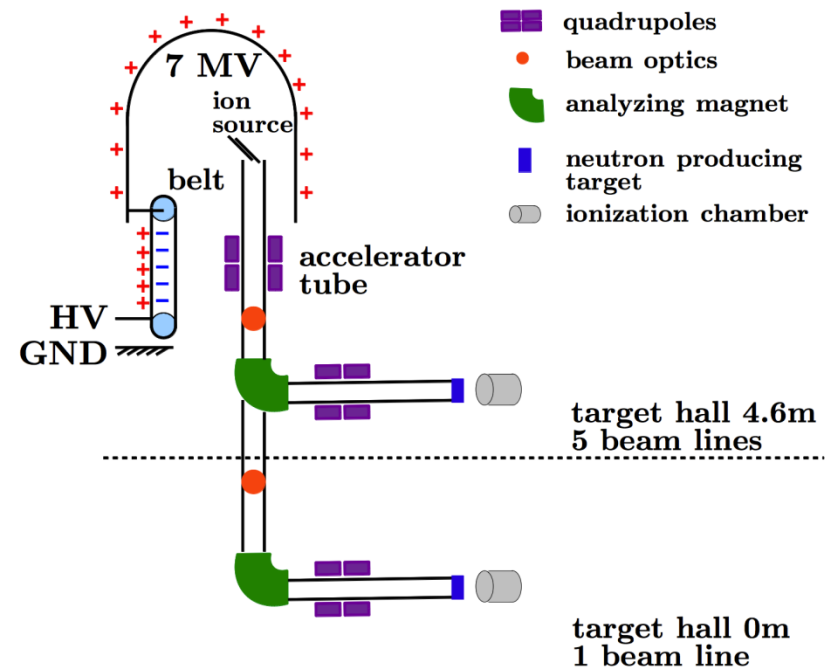
Events « 1:2 »

FNP GENTLE course: Nuclear data processing and use in nuclear application November 14-18, 2016 EC-JRC Geel, Belgium

Int'l. Conference on Mathematics & Computational Methods Applied to Nuclear Science & Engineering (M&C2017) April 16-20, 2017 ICC Jeju, Jeju, Korea

Efikasni presek za neutronima indukovanoj fisiji ^{242}Pu u energetskom opsegu od 15 MeV do 20 MeV

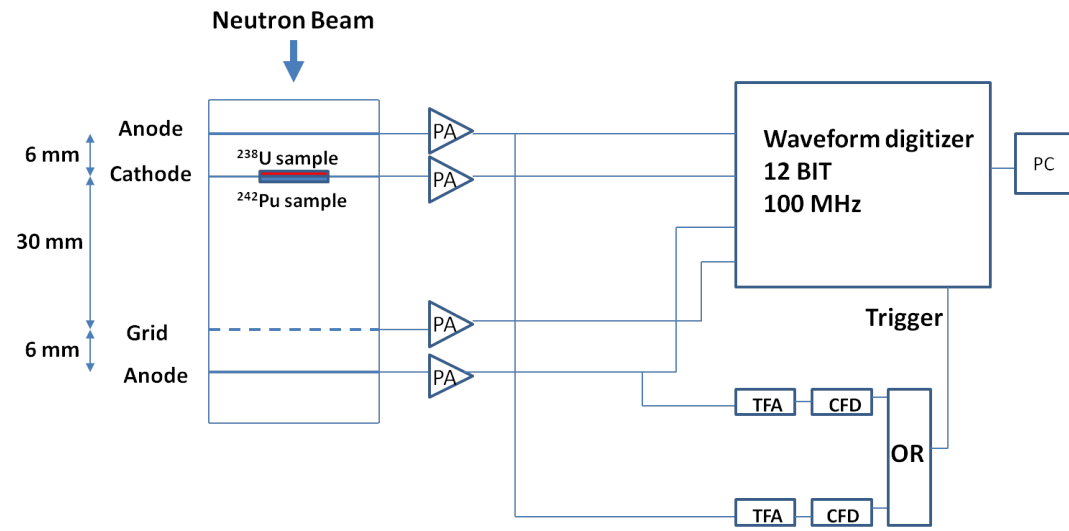
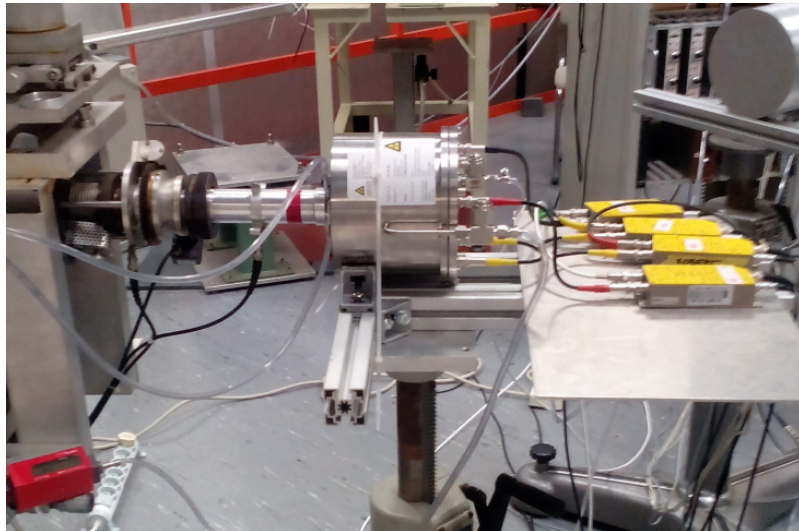
- JRC - IRMM, Geel, Belgija



$^7\text{Li}(\text{p},\text{n})^7\text{Be}$, En: 0 - 5.3 MeV
 $\text{T}(\text{p},\text{n})^3\text{He}$, En: 0 - 6.2 MeV
 $\text{D}(\text{d},\text{n})^3\text{He}$, En: 1.8 - 10.1 MeV
 $\text{T}(\text{d},\text{n})^4\text{He}$, En: 12.1 - 24.1 MeV

Efikasni presek za neutronima indukovanoj fisiji ^{242}Pu u energetskom opsegu od 15 MeV do 20 MeV

- A twin Frisch-grid ionization chamber.
- Efikasni presek za $^{242}\text{Pu}(\text{n},\text{f})$ je normiran na efikasni presek za $^{238}\text{U}(\text{n},\text{f})$.
- ^{242}Pu - 0.625 mg; ^{238}U - 0.861 mg



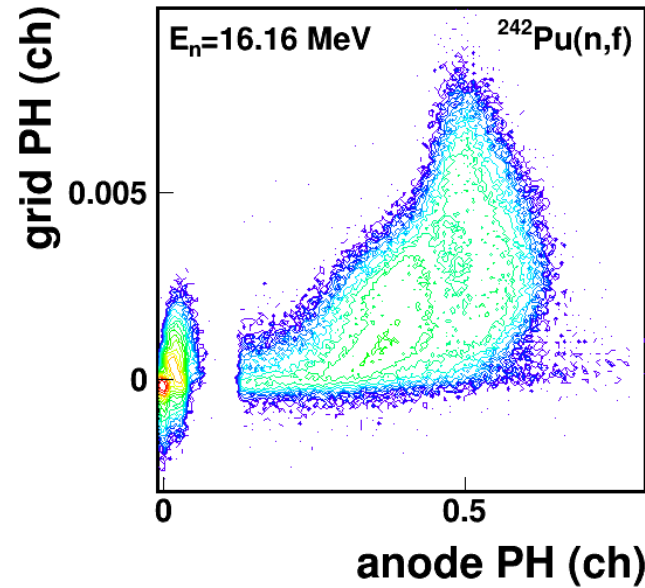
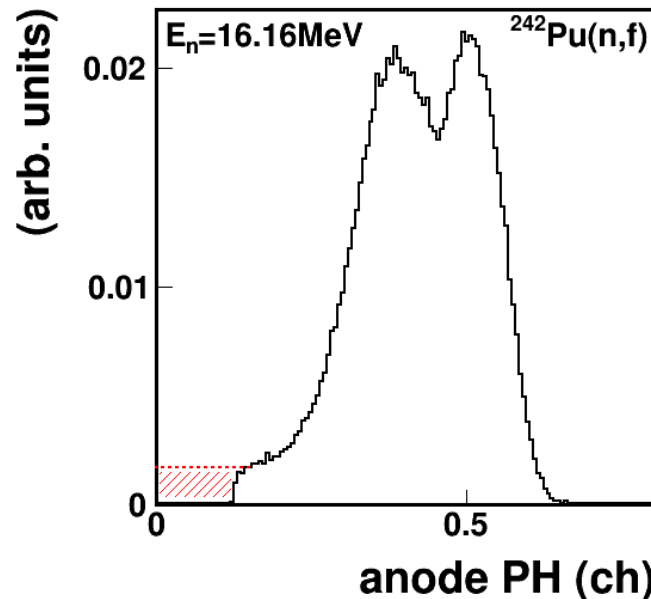
Efikasni presek za neutronima indukovaniu fisiju ^{242}Pu u energetskom opsegu od 15 MeV do 20 MeV

- Ozračivanje $^3\text{H}(\text{d},\text{n})^4\text{He}$, Ti– ^3H target of 2.293 mg cm⁻².

Measurement No.	E_i (MeV)	E_n (MeV)	t (s)
1	0.800(11)	15.28(30)	15161.0(5)
2			58149.0(5)
3	1.000(11)	16.16(20)	2906.0(5)
4			13164.0(5)
5			19163.0(5)
6	1.500(11)	17.22(30)	15954.0(5)
7			62363.0(5)
8	2.000(11)	18.02(20)	55991.0(5)
9			56353.0(5)
10	2.500(11)	18.74(30)	63436.0(5)
11	3.000(11)	19.81(18)	47811.0(5)

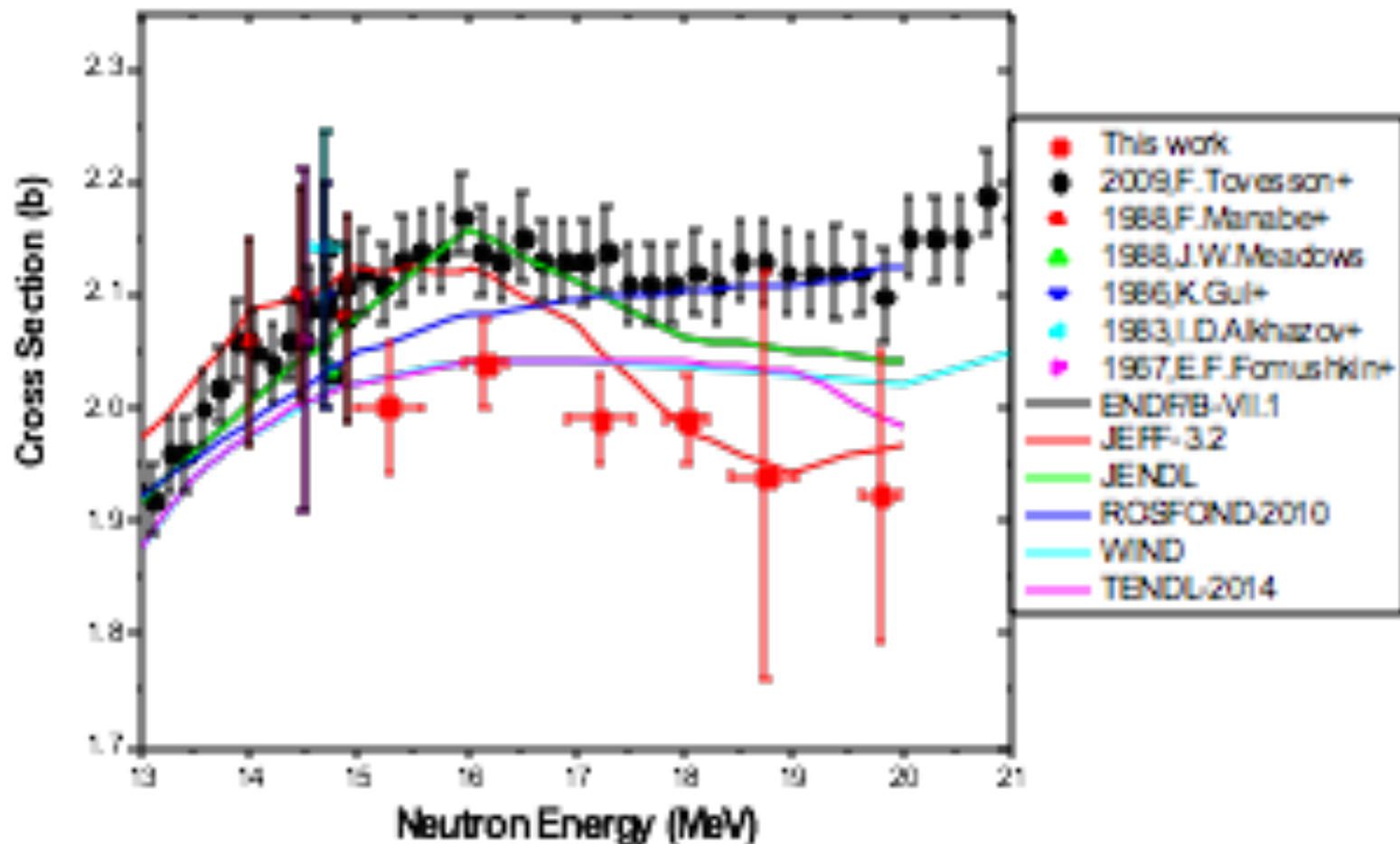
Efikasni presek za neutronima indukovanoj fisiji ^{242}Pu u energetskom opsegu od 15 MeV do 20 MeV

- Obrada eksperimentalnih podataka
- Signali sa detektora su tretirani za korekciju osnovne linije, balistički deficit i background korekcije.
- Visine signala su korigovane za neefikasnost grida, alfa pile-up i ekstrapolaciju do nule.



Efikasni presek za neutronima indukovaniu fisiju ^{242}Pu u energetskom opsegu od 15 MeV do 20 MeV

$$\sigma_{Pu} = \frac{(N_{Pu} - N_{Pu_sf})}{N_{U238}} \cdot \sigma_{U238} \cdot \frac{m_{U238} \cdot M_{Pu}}{m_{Pu} \cdot M_{U238}}$$



Funkcije efikasnih preseka za neutronske reakcije na izotopima renijuma u energetskom opsegu 13.0 -19.5 MeV

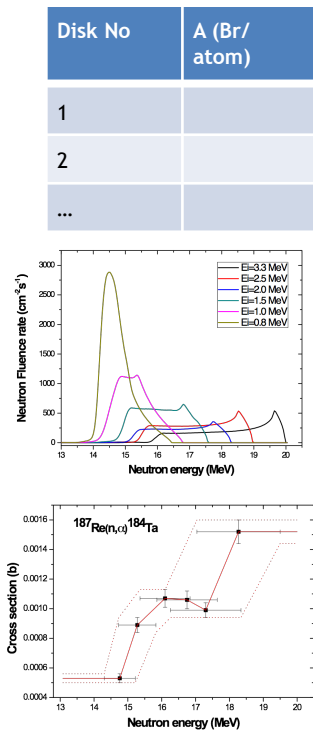
- NAXSUN metod
 - Merenja funkcije efikasnih preseka neutronima indukovane reakcije na Re
 1. Materijali
 2. Neutronski spektar i ozračivanje
 3. Gama spektroskopsko merenje
 - Rezultati
- Renijum (^{185}Re (37.4%) and ^{187}Re (62.6%))
- otporan na visoke temperature i koroziju
 - koristi se za dijagnostiku i tretman tumora
 - Re/Os cosmos-chronometry
- Nedostatak zadovoljavajućih eksperimentalnih podataka za neutronima indukovane nuklearne reakcije na Re.
- $^{187}\text{Re}(n, \alpha)^{184}\text{Ta}$, $^{187}\text{Re}(n, 2n)^{186}\text{Re}$, $^{185}\text{Re}(n, 2n)^{184}\text{Re}$, $^{187}\text{Re}(n, p)^{187}\text{W}$ i $^{185}\text{Re}(n, 3n)^{183}\text{Re}$ for $E_n = 13.0 - 19.5\text{MeV}$

Funkcije efikasnih preseka za neutronske reakcije na izotopima renijuma u energetskom opsegu 13.0 -19.5 MeV

NAXSUN metod (Neutron Activation X-Section determined using UNfolding)

$$A_k + \varepsilon_k = \sum_i \Phi_{ki} \sigma_i, i = 1, 2, \dots, c, k = 1, 2, \dots, m$$

A_k = merene vrednosti
 ε_k = greške merenja
 σ_i = efikasni preseci
 Φ_{ki} = neutronski spektri



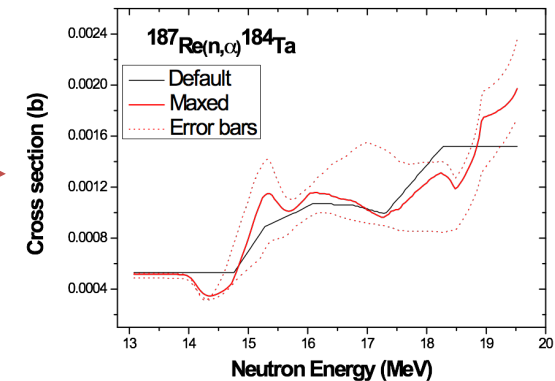
Merena aktivnost diskova

Podaci o netronskom fluksu

Inicijana funkcija efikasnog preseka



Spectrum unfolding
(MAXED,
GRAVEL)



Efikasni presek - funkcija pobude

Funkcije efikasnih preseka za neutronske reakcije na izotopima renijuma u energetskom opsegu 13.0 -19.5 MeV

- The maximum entropy code MAXED

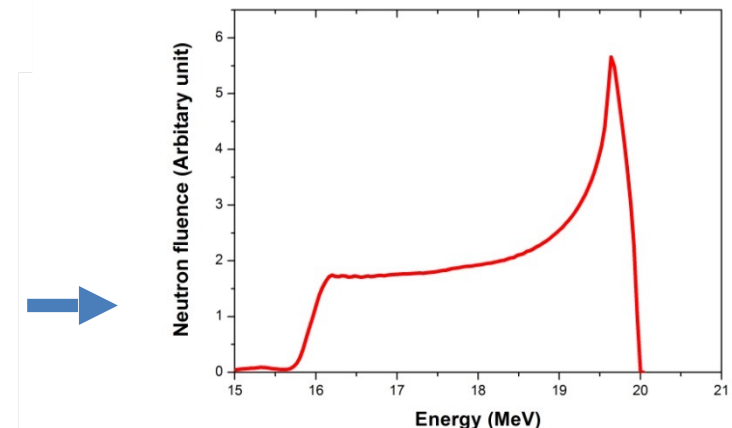
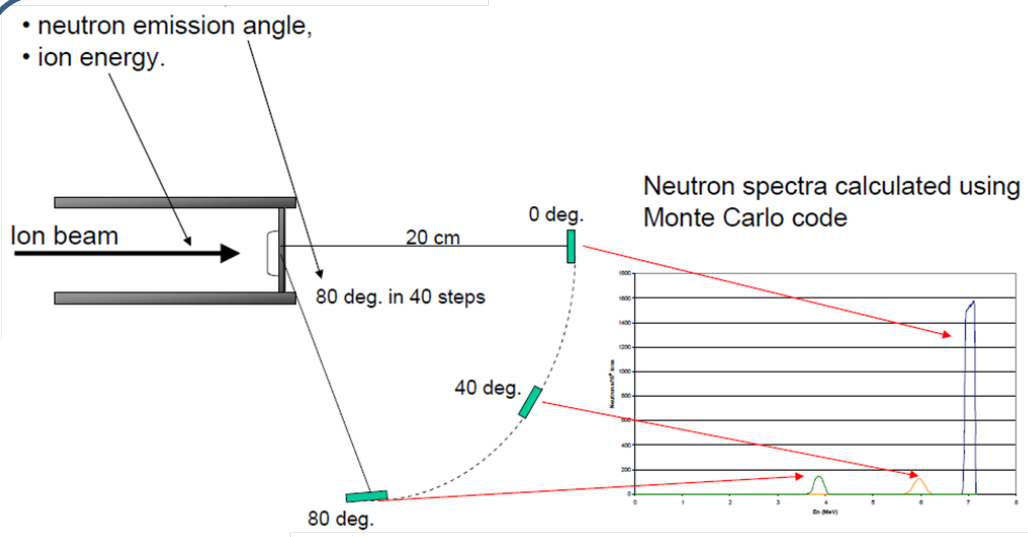
$$S = - \int \left\{ \sigma(E) \ln \left(\frac{\sigma(E)}{\sigma_{def}(E)} \right) + \sigma_{def}(E) - \sigma(E) \right\} dE$$

- GRAVEL iterative algorithm

$$\sigma_i^{J+1} = \sigma_i^J \cdot f(A_k, \varepsilon_k, \Phi_{ki}, \sigma_i^J)$$
$$f = \exp \left\{ \frac{\sum W_{ik}^J \log \left(\frac{A_k}{\sum_i \Phi_{ki} \cdot \sigma_i^J} \right)}{\sum_k W_{ik}^J} \right\}$$
$$W_{ik}^J = \frac{\Phi_{ki} \cdot \sigma_i^J}{\sum_i \Phi_{ki} \cdot \sigma_i^J} \frac{A_k^2}{\varepsilon_k^2}$$

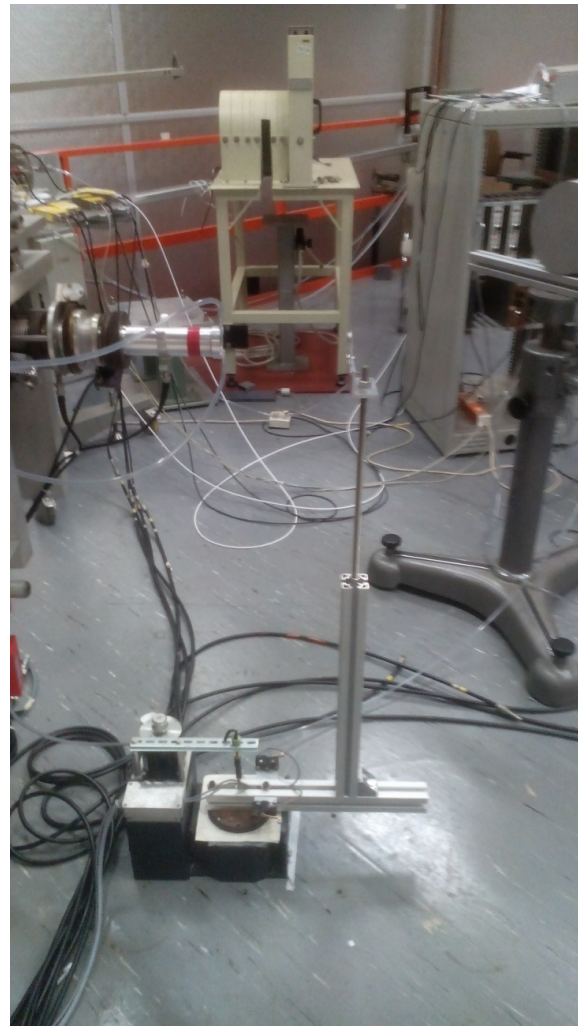
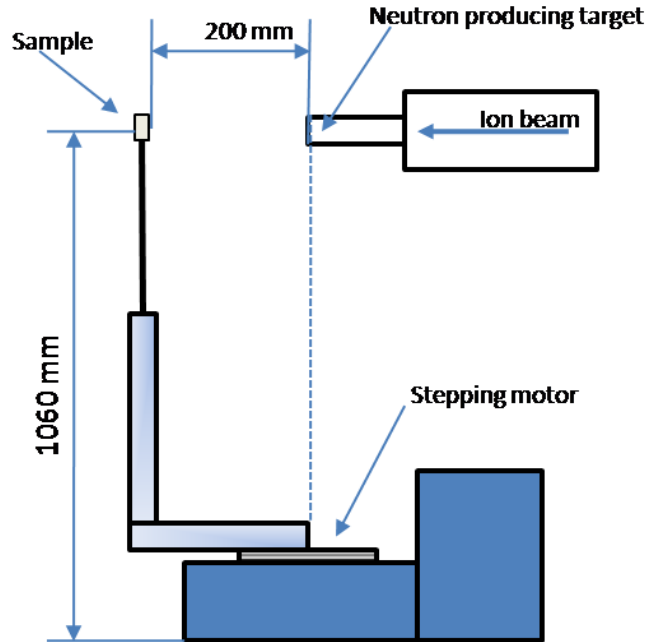
Funkcije efikasnih preseka za neutronske reakcije na izotopima renijuma u energetskom opsegu 13.0 -19.5 MeV

- Široko-energetski neutronski snopovi (energetski se preklapaju)
 - Ozračivanjem **diskova na različitim uglovima** relativno na snop jona, uzorak je izložen totalnom neutronskom spektru u širokom energetskom opsegu.
 - Reakcije za produkciiju neutrona
 ${}^7\text{Li}(\text{p},\text{n}){}^7\text{Be}$, En: 0 - 5.3 MeV
 $\text{T}(\text{p},\text{n}){}^3\text{He}$, En: 0 - 6.2 MeV
 $\text{D}(\text{d},\text{n}){}^3\text{He}$, En: 1.8 - 10.1 MeV
 $\text{T}(\text{d},\text{n}){}^4\text{He}$, En: 12.1 - 24.1 MeV



Funkcije efikasnih preseka za neutronske reakcije na izotopima renijuma u energetskom opsegu 13.0 -19.5 MeV

- Uredaj za ozračivanje



Funkcije efikasnih preseka za neutronske reakcije na izotopima renijuma u energetskom opsegu 13.0 -19.5 MeV

Neutronsko polje i ozračivanje

- JRC-IRMM Van de Graff akcelerator
- 6 Re-diskova (dijametar: 20 mm, 5 mm debljina) ozračeni svaki na različitoj neutronskoj energiji u intervalu od 0° do 80° relativno na snop
- 41 različitih pozicija u koracima od po 2°
- Jedan disk je ozračen na fiksnoj poziciji 0° pri inicijalnoj energiji neutrona od 18.1 MeV

Disk No.	E_i (MeV)	E_n (MeV)	t (s)
1	3.3	19.78(20)	86921(10)
2	2.5	18.71(20)	248402(10)
3	2.0	18.10(28)	157632(10)
4	2.0	18.10(28)	166564(10)
5	1.5	17.16(30)	231958(10)
6	1.0	15.9(8)	243608(10)
7	0.8	15.26(13)	144831(10)

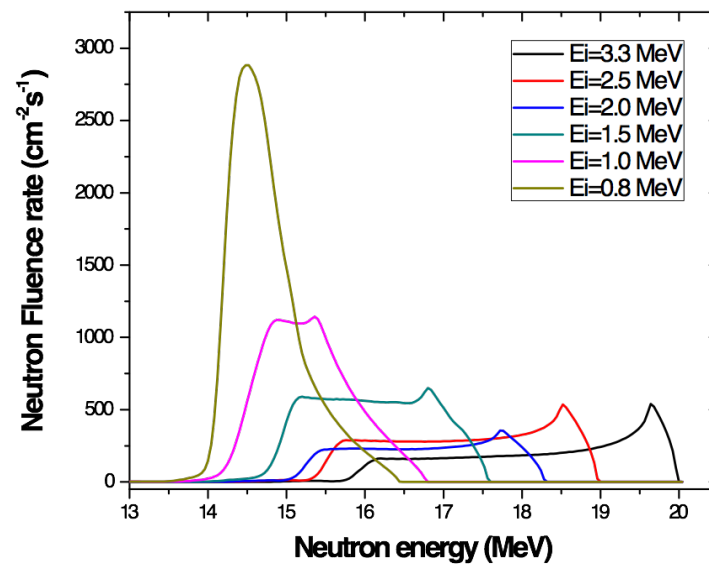
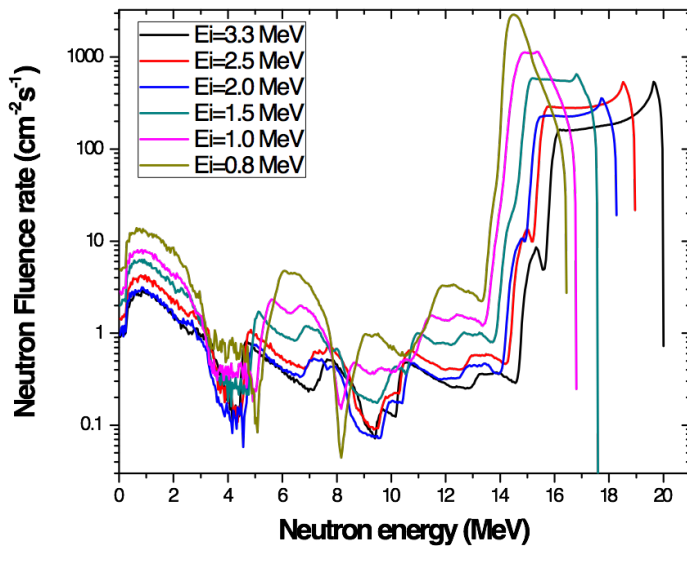
Funkcije efikasnih preseka za neutronske reakcije na izotopima renijuma u energetskom opsegu 13.0 -19.5 MeV

Neutronsko polje i ozračivanje

- neutronske spektri simulirani (TARGET kod) i korigovani za vremena ozračivanja i promene struje akceleratora

$$\Phi_k = \Phi_{T_k} \cdot b_k$$

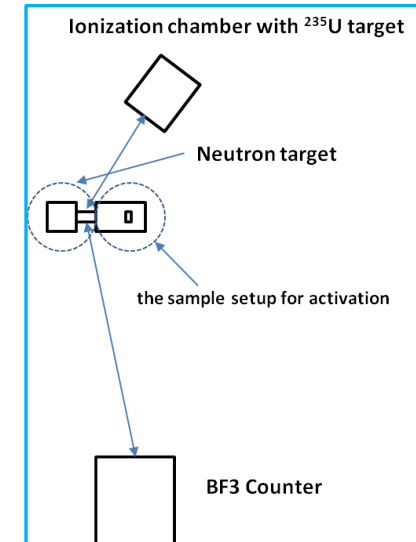
$$b_k = \sum_{i=1}^n \left(\frac{q_i}{t_{ak_i}} \left(1 - e^{-\lambda t_{ak_i}} \right) e^{-\lambda t_{ck_i}} \right)$$



Funkcije efikasnih preseka za neutronske reakcije na izotopima renijuma u energetskom opsegu 13.0 -19.5 MeV

Monitoring neutronskog fluksa tokom ozračivanja

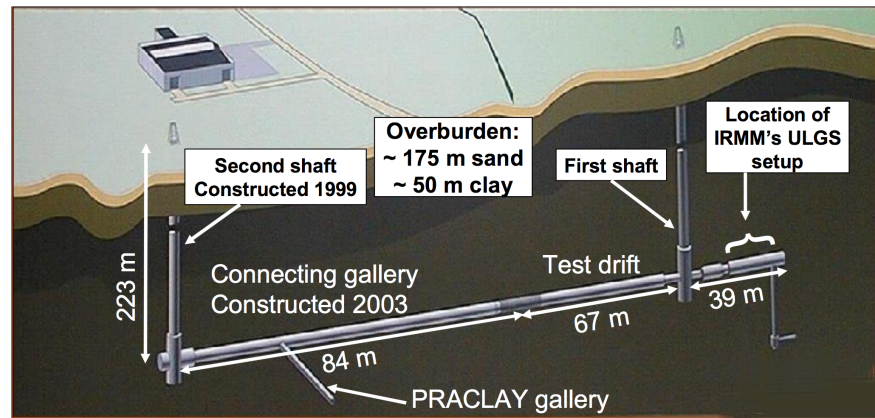
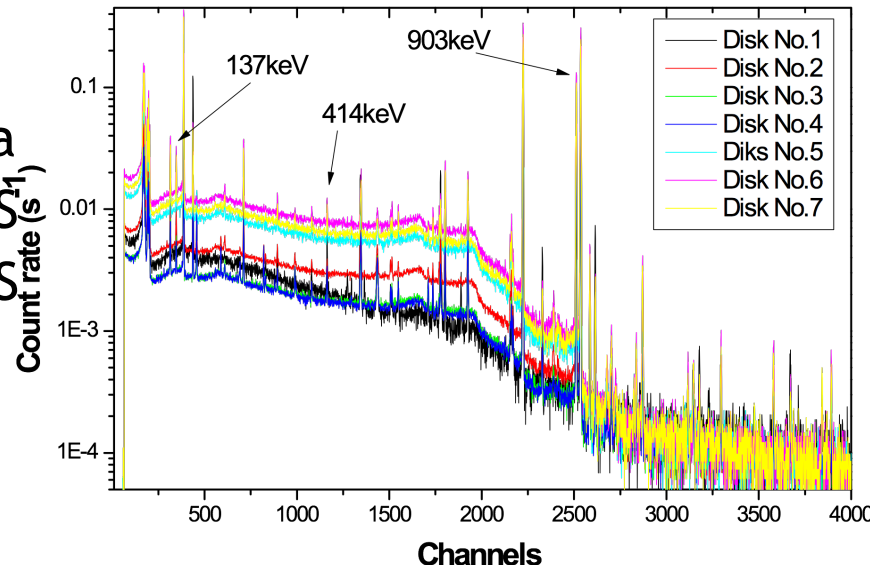
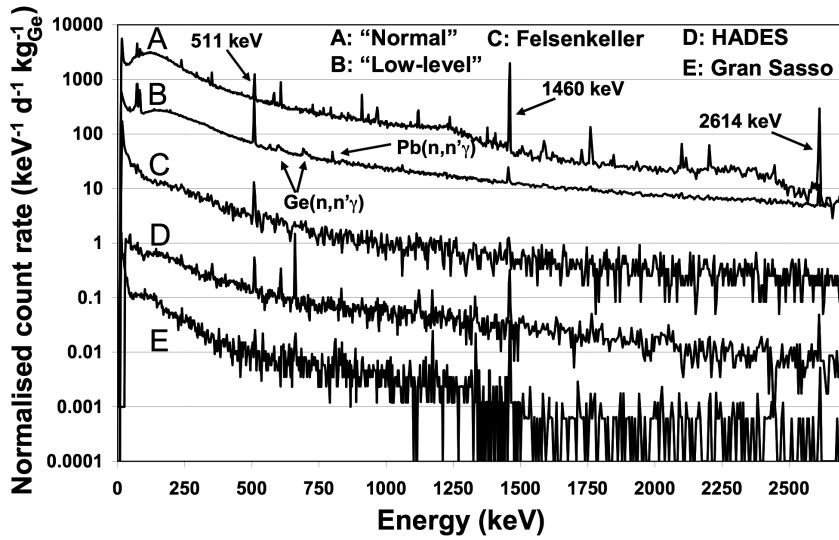
- Dve ionizacione komore (sa ^{235}U i ^{238}U metama), BF3 brojač



Funkcije efikasnih preseka za neutronske reakcije na izotopima renijuma u energetskom opsegu 13.0 -19.5 MeV

Gama spektroskopska merenja

- Prvo merenje 20 min nakon ozračivanja
- Drugo merenje nakon dva dana - HADES
- Treće merenje nakon 2 meseca - HADES
- HADES



Funkcije efikasnih preseka za neutronske reakcije na izotopima renijuma u energetskom opsegu 13.0 -19.5 MeV

Gama spektroskopska merenja

➤ Specifična aktivnost po atomu aktiviranog izotopa mete, A_k na kraju aktivacije

$$A_k = \frac{CM}{N_a m \varepsilon P_\gamma I_A} \left(\frac{\lambda}{1 - e^{-\lambda t_m}} \right) e^{\lambda t_c}$$

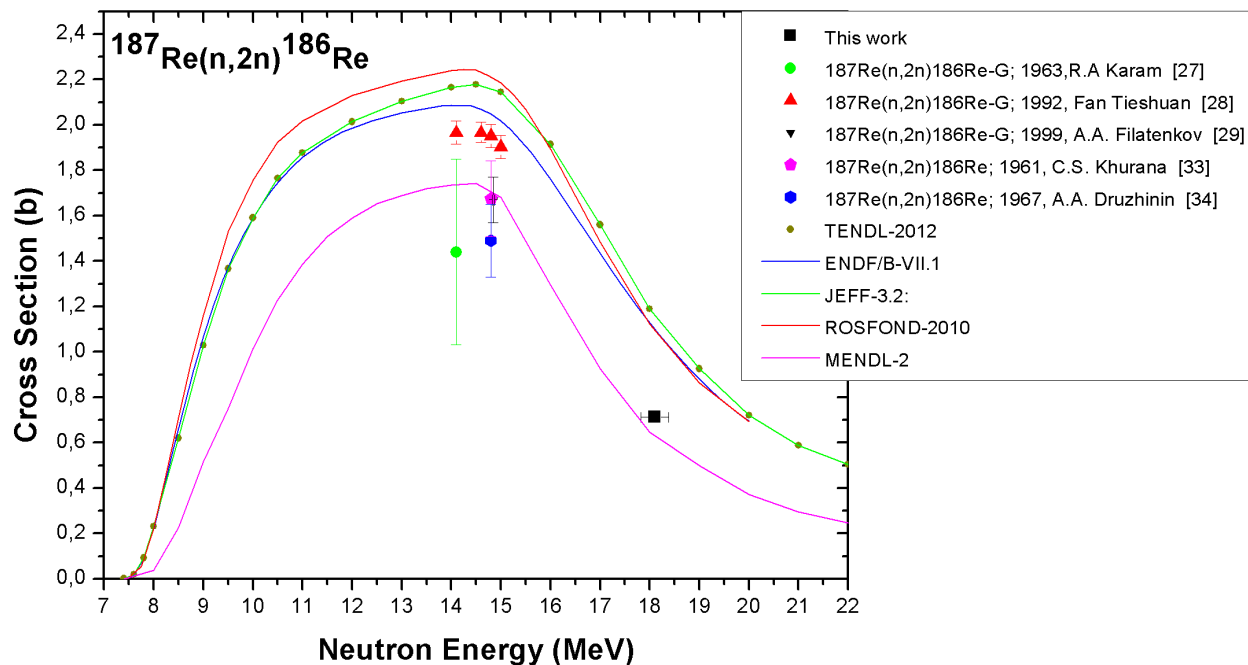
Reaction	E_γ [keV] (I $_\gamma$, %)	Disk No.1	Disk No.2	Disk No.3	Disk No.4	Disk No.5	Disk No.6	Disk No.7
		$A_k (10^{-24} \text{Bq}/\text{atom})$						
$^{187}\text{Re}(n,2n)^{186}\text{Re}$	137.2 (9.4)	3430(50)	9850(14)	4490(60)	4790(70)	14680(210)	26800(400)	24700(300)
$^{187}\text{Re}(n,a)^{184}\text{Ta}$	414.0 (73.9)	29.10(40)	23.10(30)	16.72(23)	37.30(50)	32.00(40)	32.40(50)	31.20(40)
$^{185}\text{Re}(n,2n)^{184}\text{Re}$	903 (37.9)	334.0(50)	1315(19)	676(9)	733(10)	2250(30)	3600(50)	3260(50)
$^{185}\text{Re}(n,3n)^{183}\text{Re}$	162.3 (22.3)	165.6(29)	187(3)	119.0(20)	318(6)	237(4)	113.4(20)	67.2(12)
$^{187}\text{Re}(n,p)^{187}\text{W}$	618.3 (7.6)	45.5(8)	66.1(11)	50.3(8)	82.4(14)	118.1(20)	93.5(16)	96.8(17)

Funkcije efikasnih preseka za neutronske reakcije na izotopima renijuma u energetskom opsegu 13.0 -19.5 MeV

- Rezultati
- Efikasni preseci za normalizaciju pri energiji od 18.1 MeV

$$\sigma = \frac{A_k}{\Phi_1}$$

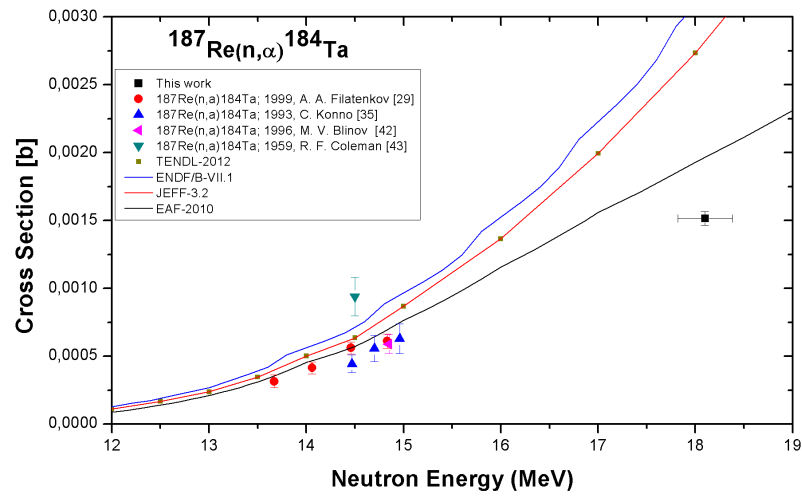
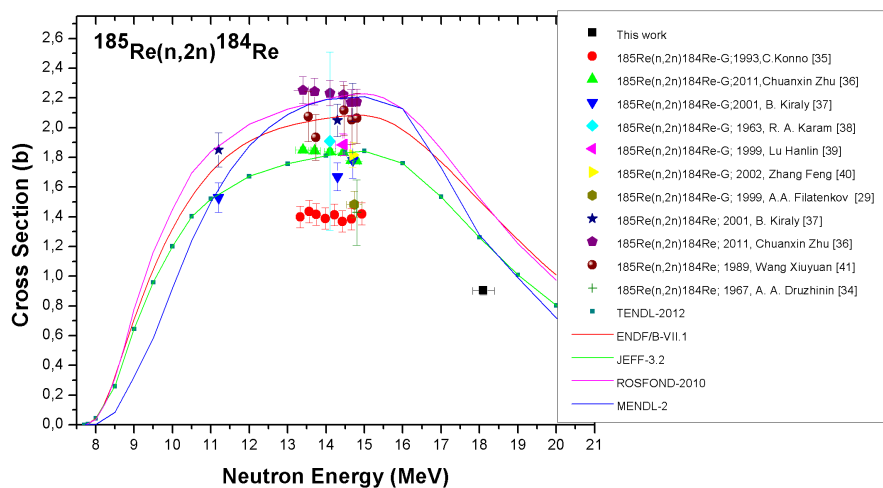
$$\Phi_1 = \Phi \cdot \sum_i^n \frac{j}{j_{avg}} \cdot \left(1 - e^{-\lambda t_{ai}}\right)^{-\lambda t_{ci}}$$



Funkcije efikasnih preseka za neutronske reakcije na izotopima renijuma u energetskom opsegu 13.0 - 19.5 MeV

Rezultati

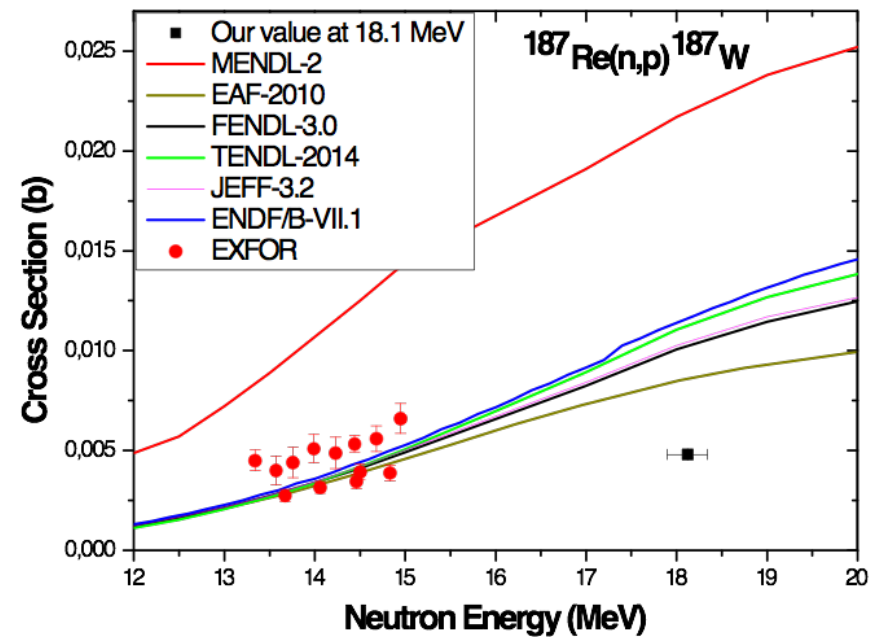
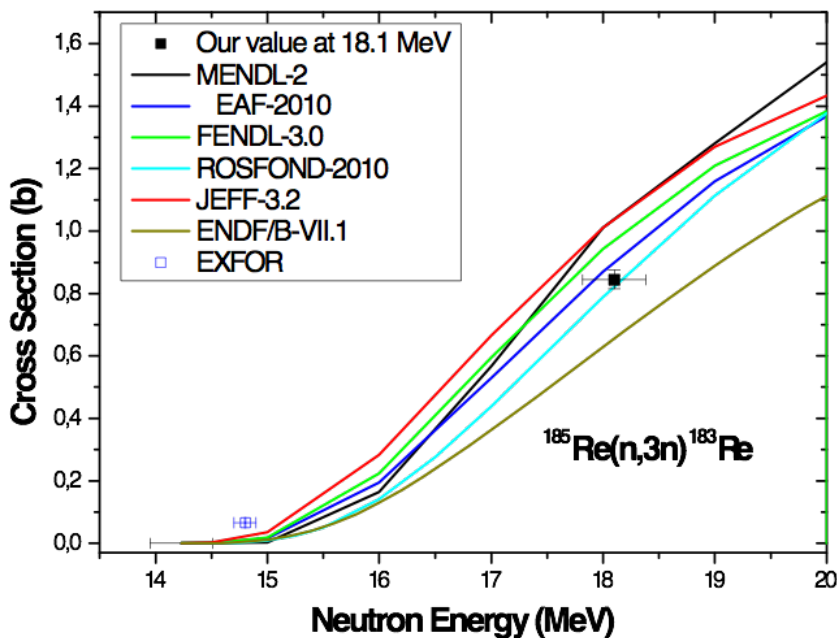
- Efikasni preseci za normalizaciju pri energiji od 18.1 MeV



Funkcije efikasnih preseka za neutronske reakcije na izotopima renuma u energetskom opsegu 13.0 - 19.5 MeV

Rezultati

- Efikasni preseci za normalizaciju pri energiji od 18.1 MeV



Funkcije efikasnih preseka za neutronske reakcije na izotopima renuma u energetskom opsegu 13.0 - 19.5 MeV

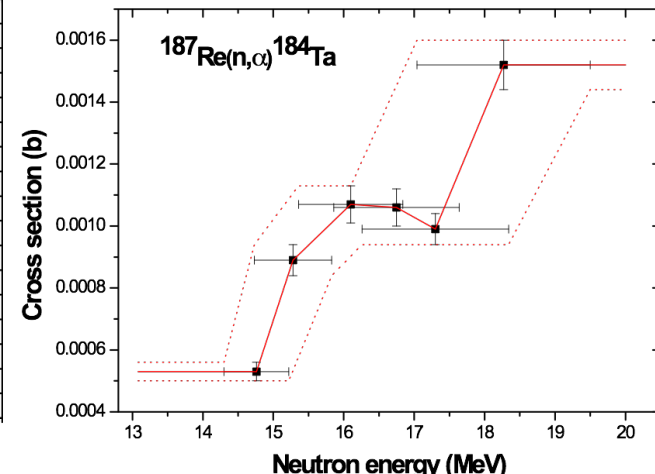
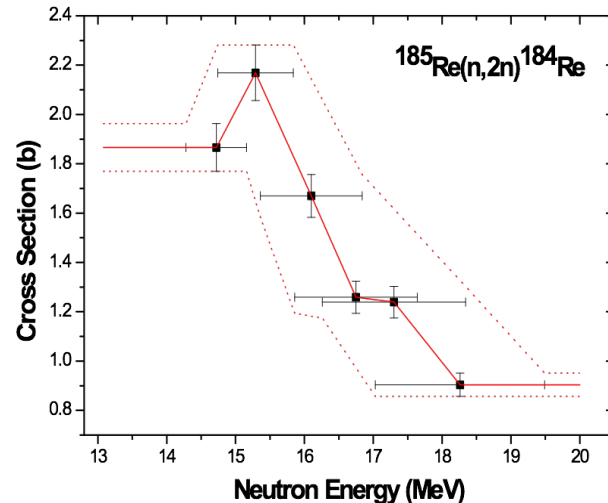
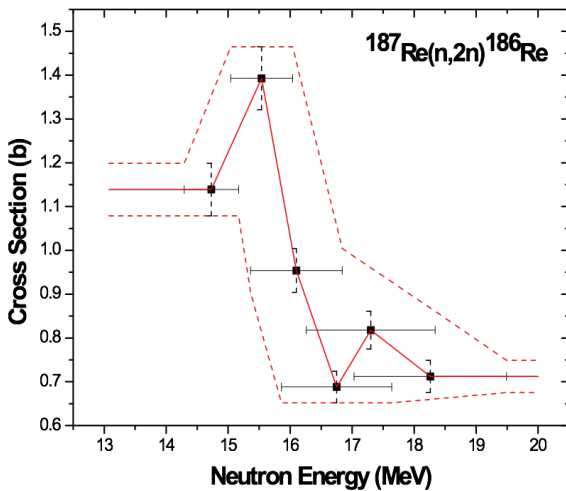
Rezultati

- Definisanje početne funkcije za unfolding postupak

1. Srednji efikasni presek $\langle \sigma_k \rangle \approx \frac{A_{sk}}{\sum_i \Phi_{ki}}$

2. Odgovarajuća srednja energija neutrona $\langle E \rangle_k \approx \frac{\sum_i \Phi_{ki} \cdot E_i}{\sum_i \Phi_{ki}}$

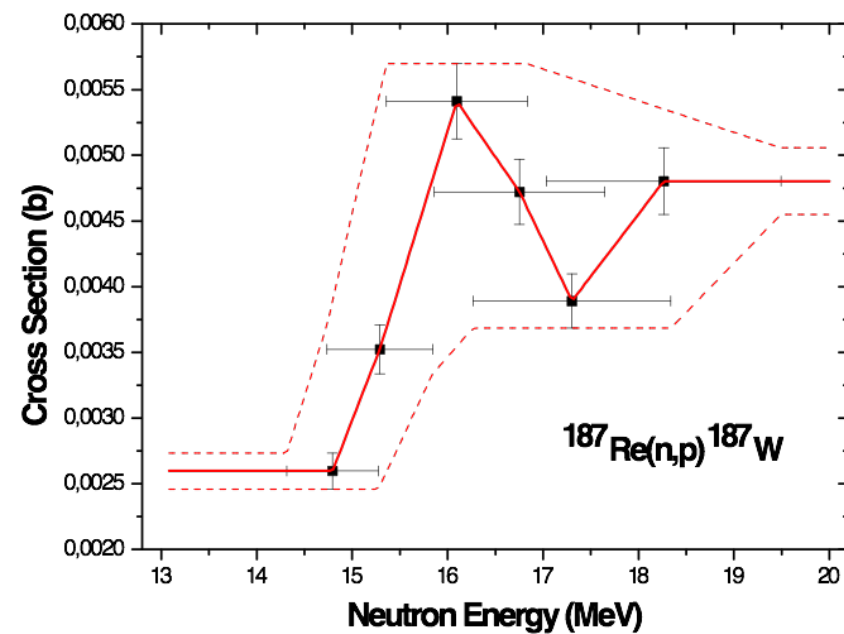
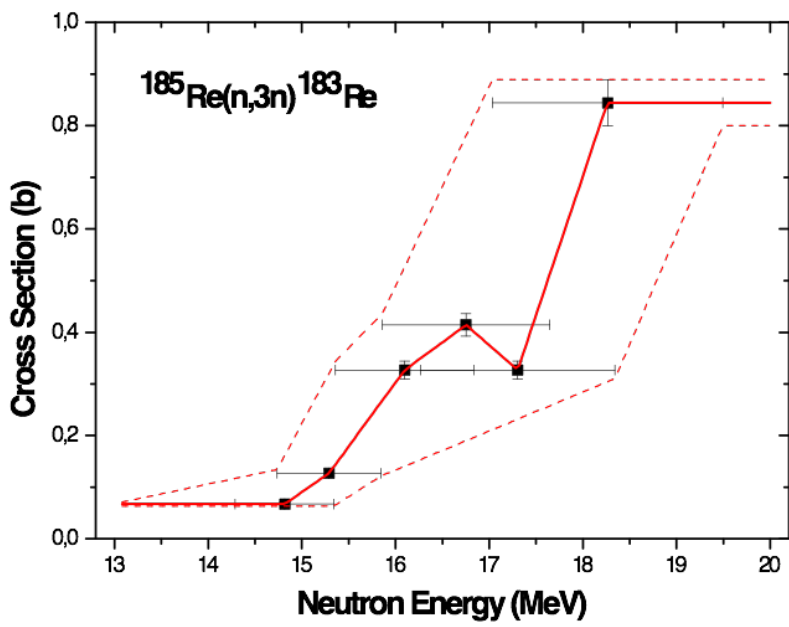
3. Linearna interpolacija zavisnosti $\langle \sigma_k \rangle$ od $\langle E \rangle_k$



Funkcije efikasnih preseka za neutronske reakcije na izotopima renijuma u energetskom opsegu 13.0 - 19.5 MeV

Rezultati

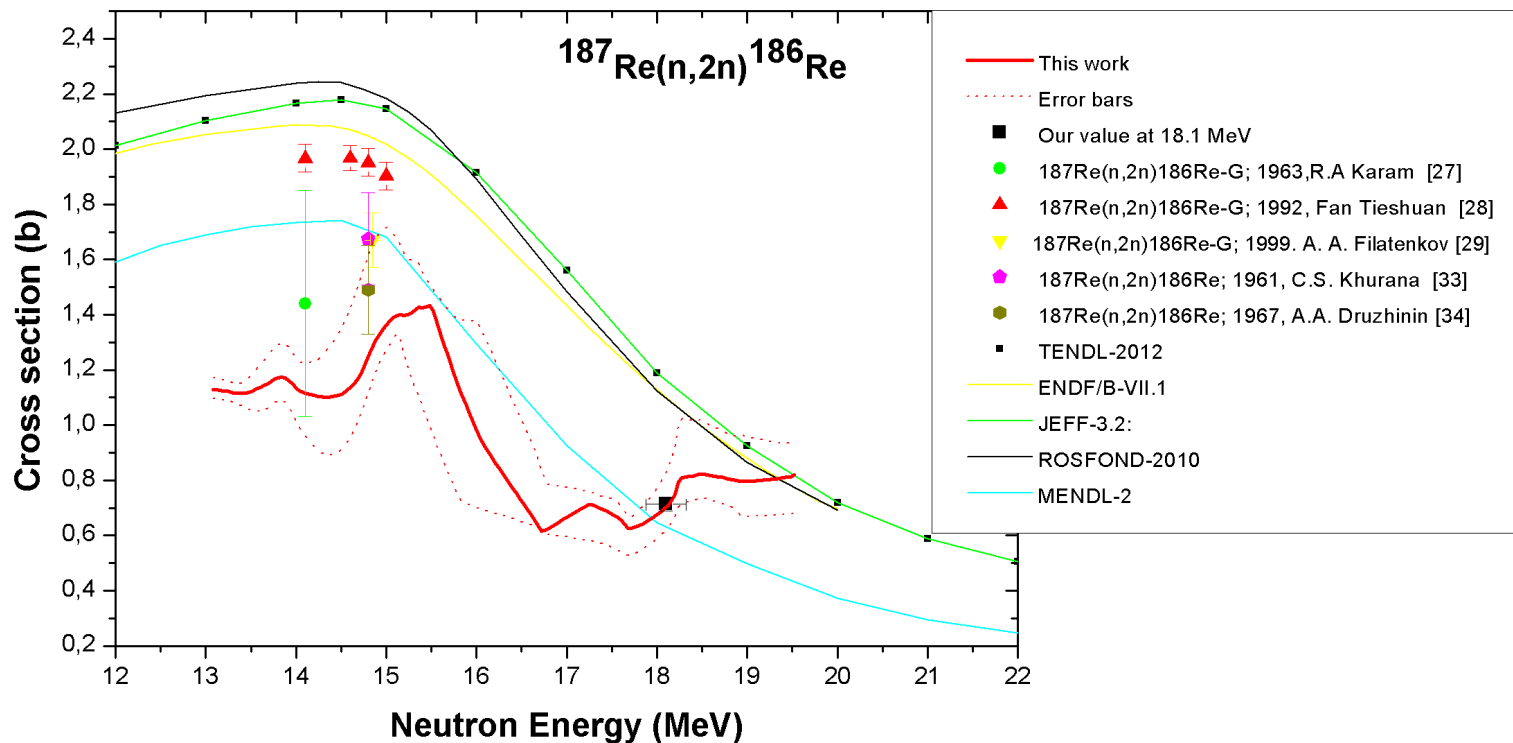
- Definisanje početne funkcije za unfolding postupak



Funkcije efikasnih preseka za neutronske reakcije na izotopima renijuma u energetskom opsegu 13.0 -19.5 MeV

Rezultati

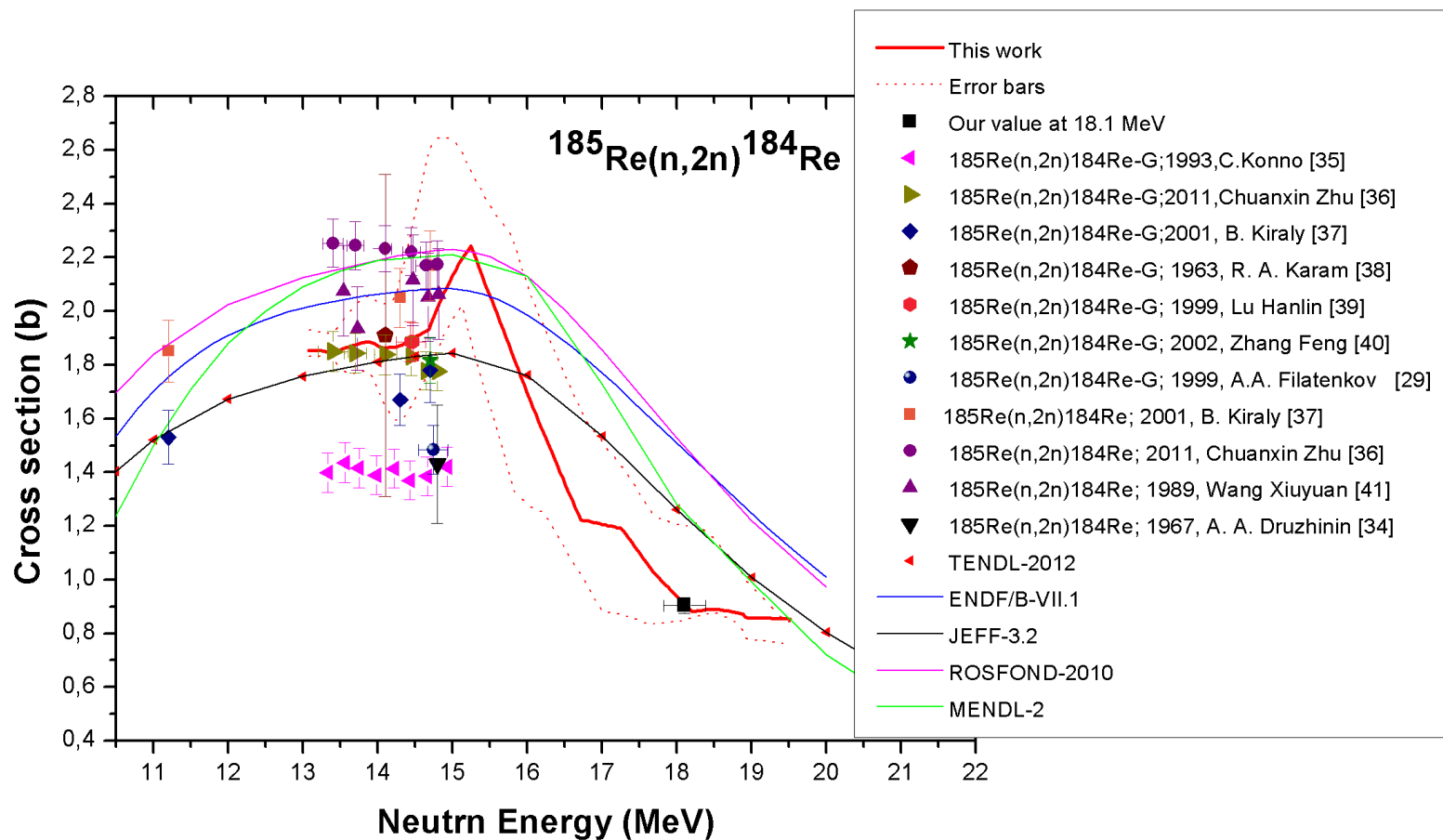
- Unfolded excitation function
- Ujedinjene vrednosti rezultata GRAVEL i MAXED koda



Funkcije efikasnih preseka za neutronske reakcije na izotopima renijuma u energetskom opsegu 13.0 - 19.5 MeV

Rezultati

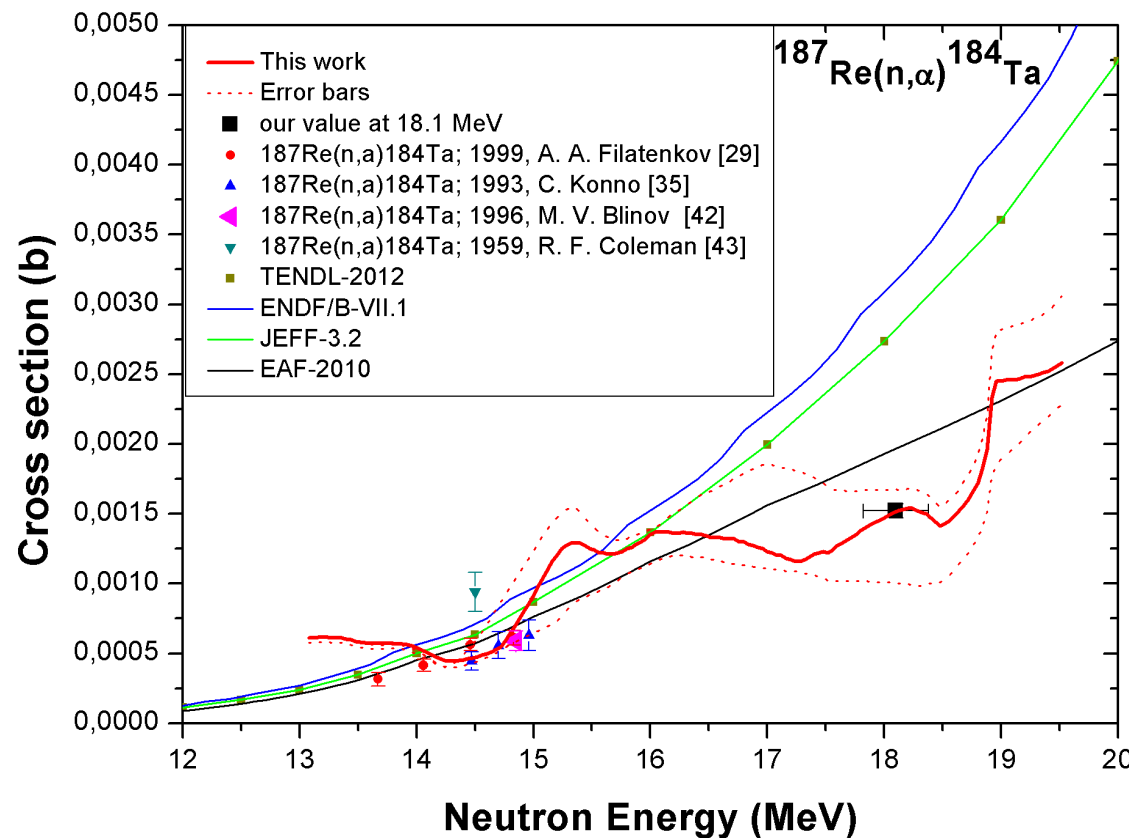
- Unfolded excitation function



Funkcije efikasnih preseka za neutronske reakcije na izotopima renijuma u energetskom opsegu 13.0 - 19.5 MeV

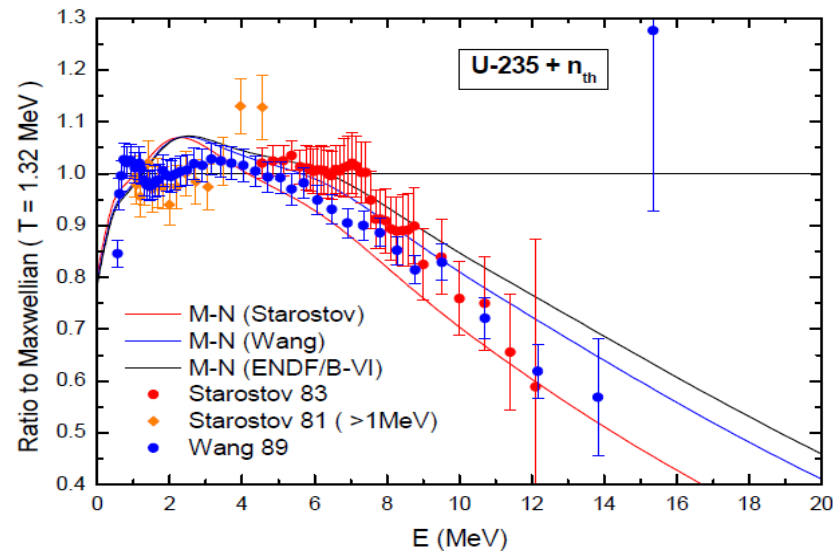
Rezultati

- Unfolded excitation function



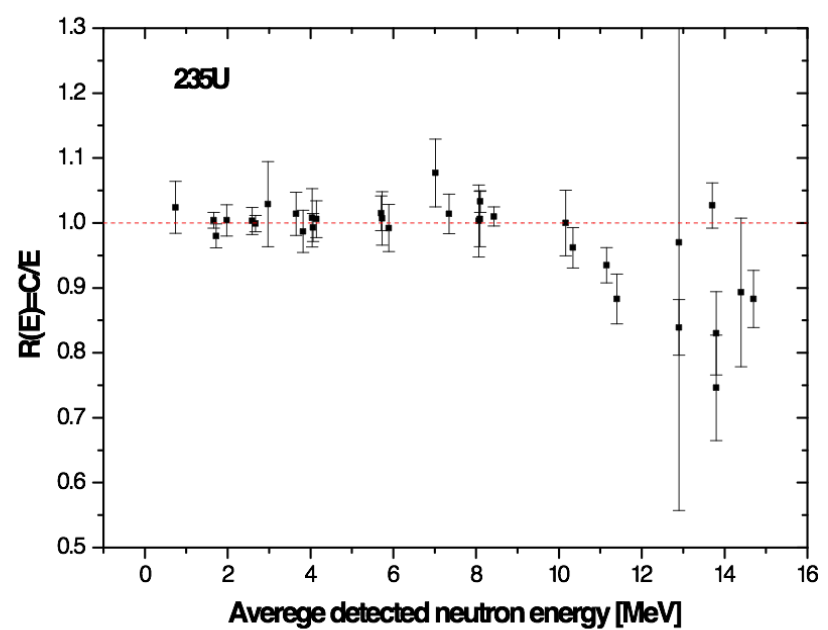
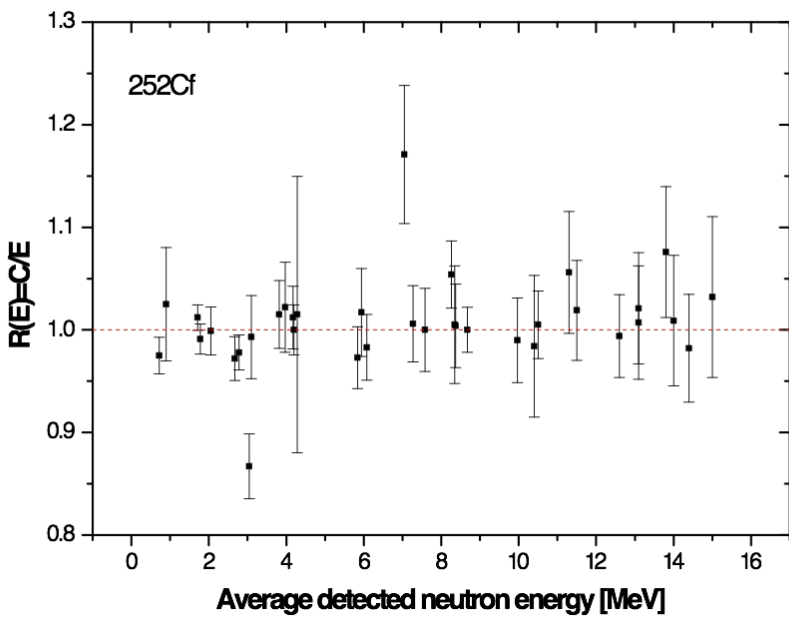
Modelovanje neutronskog spektra na osnovu aktivacione analize

- Pouzdani eksperimentalni podaci o PFNS su veoma važni za bolje razumevanje procesa fisije kao i dizajn inovativnih reaktora.
 - Razumevanje ^{235}U PFNS je od velike važnosti za ekonomičnu i sigurnu upotrebu nuklearne energije.
-
- Neslaganja između eksperimentalnih i modeliranih podataka
 - Neslaganja između mikroskopskih i makroskopskih podataka
 - Modeliranje neutronskog spektra na osnovu aktivacione analize može dati neke nove informacije.



Modelovanje neutronskog spektra na osnovu aktivacione analize

- Računate srednje vrednosti efikasnog preseka za određene neutronske reakcije, korišćenjem diferencijalnih eksperimentalnih PFNS, u mnogim slučajevima ne mogu na zadovoljavajući način reprodukovati integralna merenja efikasnih preseka.
 - $C/E = \text{Calc. / Exp. spectrum-averaged cross sections } \int \sigma(E) N(E) dE / \int N(E) dE$



Odnos računatih i eksperimentalnih srednjih efikasnih preseka za ^{252}Cf and ^{235}U

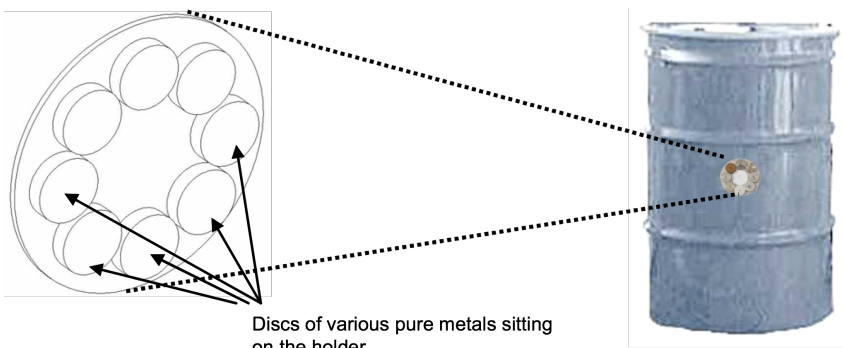
Modelovanje neutronskega spektra na osnovu aktivacione analize

•DONA method

$$A_k \propto \sum_i \sigma_{ki} \Phi_i$$

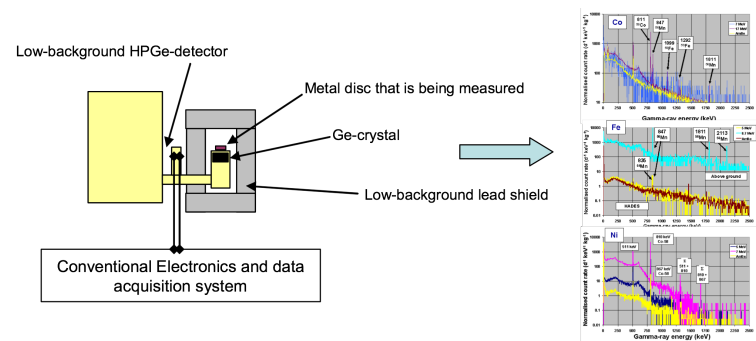
Step 1

Irradiation at measurement site



Step 2

Gamma measurements

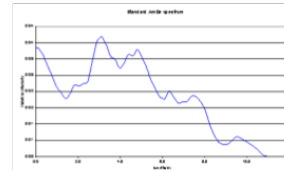
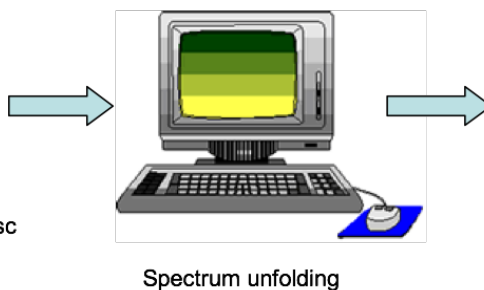


Step 3

Spectrum unfolding

Radionuclide	Saturation activity (mBq)
^{56}Co	50
^{55}Mn	23
^{60}Co	40
^{64}Cu	112
etc.	...
...	...
...	...

Input to the unfolding: "Disc activities"

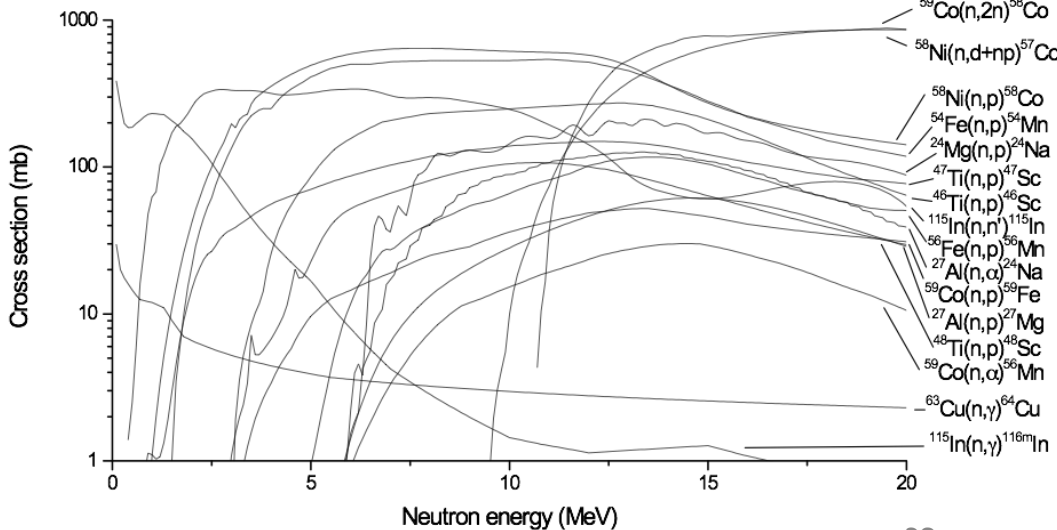
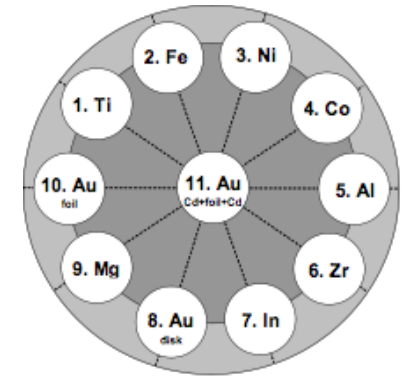


The final result: A neutron energy intensity spectrum

Modelovanje neutronskega spektra na osnovu aktivacione analize

•DONA detector

	Disk material	Diameter (mm)	thickness (mm)	inner hole	mass (g)
1	Ti	20	5	Yes	7
2	Fe	20	5	Yes	12,1
3	Ni	20	5	Yes	13,8
4	Co	20	5	Yes	13,6
5	Al	20	5	Yes	4,2
6	Zr	20	5		
7	In	20	5	No	11,4
8	Au-disk	20	5	No	
9	Mg	20	5	Yes	2,7
10	Au-foil	20	1	No	
11	Au-foil in Cd	20	1	No	

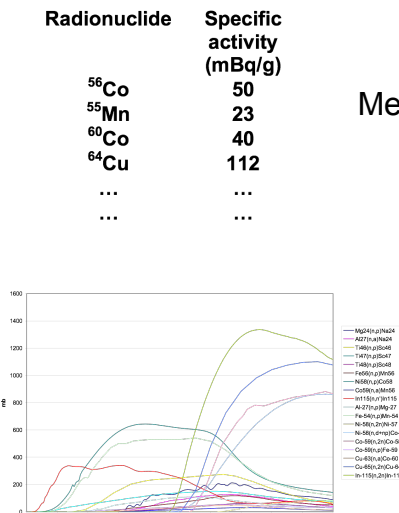


Modelovanje neutronskega spektra na osnovu aktivacione analize

Unfolding postupak

$$M_k + \varepsilon_k = \sum_i \sigma_{ik} \Phi_i \quad k = 1, 10; \quad i = 1, 100$$

M_k = merena aktivnost
 ε_k = greška merenja
 σ_{ki} = efikasni presek
 Φ_i = neutronski spektar



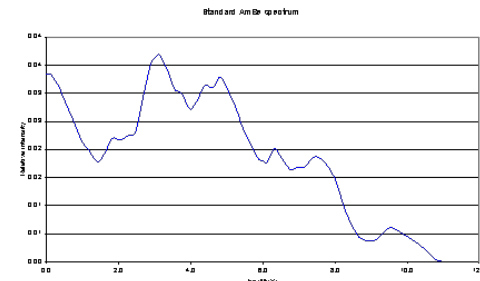
Default neutron spectra

Measured disk activities

Cross section data



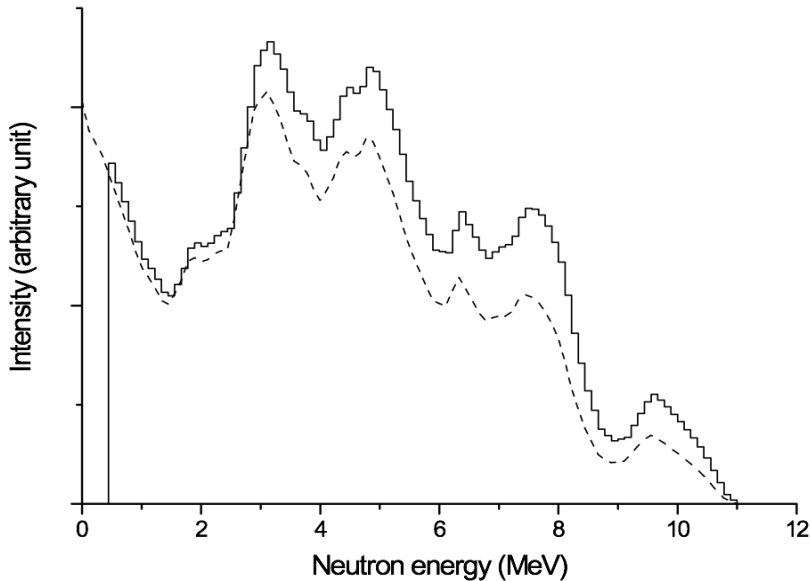
Spectrum unfolding



The final result: a neutron energy intensity spectrum

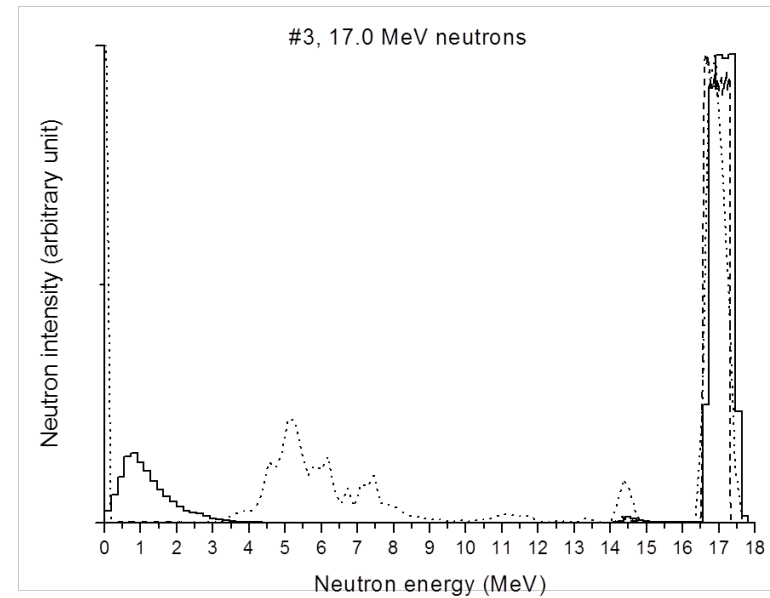
Modelovanje neutronskega spektra na osnovu aktivacione analize

DONA test i validacija



AmBe reference source

fluence rate = $40 \text{ n/cm}^2 \text{ s}$
irradiation time = 3.8 d
chi-2 value = 1.24



Quasi mono-energetic neutron fields
at the IRMM Van de Graaff accelerator

— Measured
..... Bonner spheres
- - - MC calculated

Modelovanje neutronskog spektra na osnovu aktivacione analize

- Testiranje DONA metoda sa standardnim neutronskim spektrom nakon spontane fisije ^{252}Cf
- 2 DONA diska
- 42 dana ozračivanja
- Neutronske fluks: $\sim 220 \text{ ncm}^{-2}\text{s}^{-1}$
- Rastojanje izvor - detektor: 7.7 cm



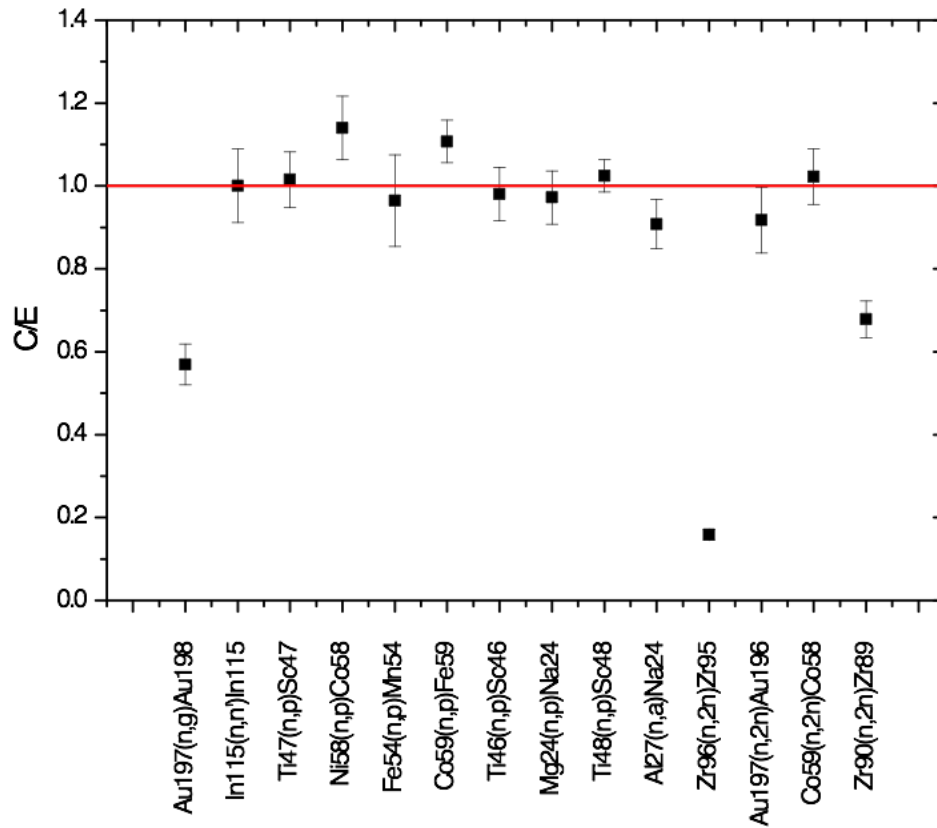
Modelovanje neutronskega spektra na osnovu aktivacione analize

- Gama spektroskopsko merenje - HADES

Activation reaction	$\langle E \rangle$ [MeV]	Half life	Main gamma-ray line [keV]	$A_{sk} [10^{-24} \text{ Bq atom}^{-1}]$
$^{197}\text{Au}(n,g)^{198}\text{Au}$, foil	0.72	2.68 d	411	26.2(25)
$^{197}\text{Au}(n,g)^{198}\text{Au}$, foil Cd shielded	0.72	2.68 d	411	26.3(25)
$^{197}\text{Au}(n,2n)^{196}\text{Au}$ foil	10.5	6.18 d	333	1.45(19)
$^{197}\text{Au}(n,2n)^{196}\text{Au}$ foil Cd shielded	10.5	6.18 d	333	1.37(9)
$^{197}\text{Au}(n,g)^{198}\text{Au}$	0.72	2.68 d	411	26.2(23)
$^{115}\text{In}(n,n')^{115}\text{In}$	2.67	4.49 h	336	38.3(32)
$^{47}\text{Ti}(n,p)^{45}\text{Sc}$	3.82	3.35 d	159	3.84(25)
$^{58}\text{Ni}(n,p)^{58}\text{Co}$	4.2	70.8 d	811	20.6(14)
$^{54}\text{Fe}(n,p)^{54}\text{Mn}$	4.28	312 d	835	18.2(12)
$^{59}\text{Co}(n,p)^{59}\text{Fe}$	5.94	44.5 d	1099	0.309(14)
$^{46}\text{Ti}(n,p)^{46}\text{Sc}$	6.08	3.35 d	889	2.81(18)
$^{24}\text{Mg}(n,p)^{24}\text{Na}$	8.26	15.0 h	1369	0.430(28)
$^{48}\text{Ti}(n,p)^{48}\text{Sc}$	8.35	1.82 d	159	0.083(3)
$^{27}\text{Al}(n,\alpha)^{24}\text{Na}$	8.67	15.0 h	1369	0.224(15)
$^{96}\text{Zr}(n,2n)^{95}\text{Zr}$	10.2	64.03 d	724	8.82(64)
$^{197}\text{Au}(n,2n)^{196}\text{Au}$	10.5	6.18 d	333	1.20(10)
$^{59}\text{Co}(n,2n)^{58}\text{Co}$	13.1	70.9 d	811	0.079(5)
$^{90}\text{Zr}(n,2n)^{89}\text{Zr}$	14.4	3.27 d	909	0.064(4)

Modelovanje neutronskega spektra na osnovu aktivacione analize

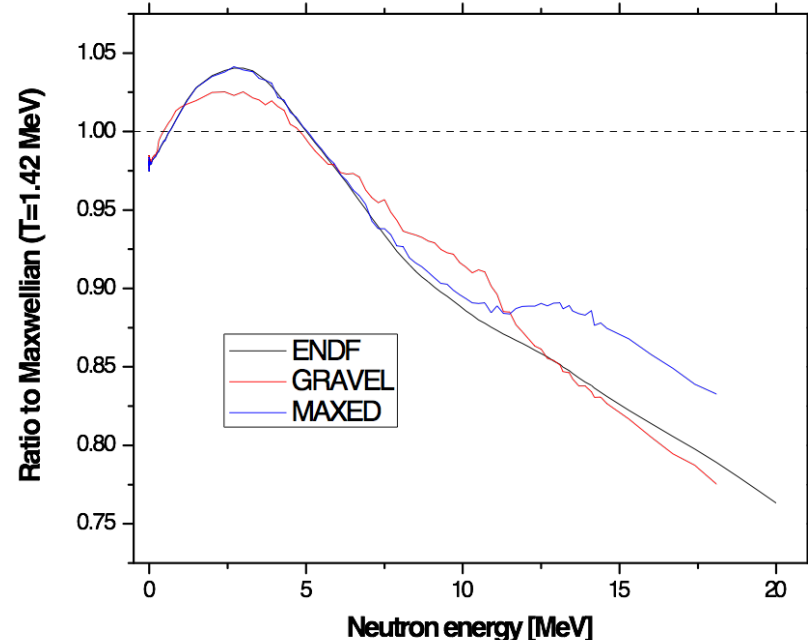
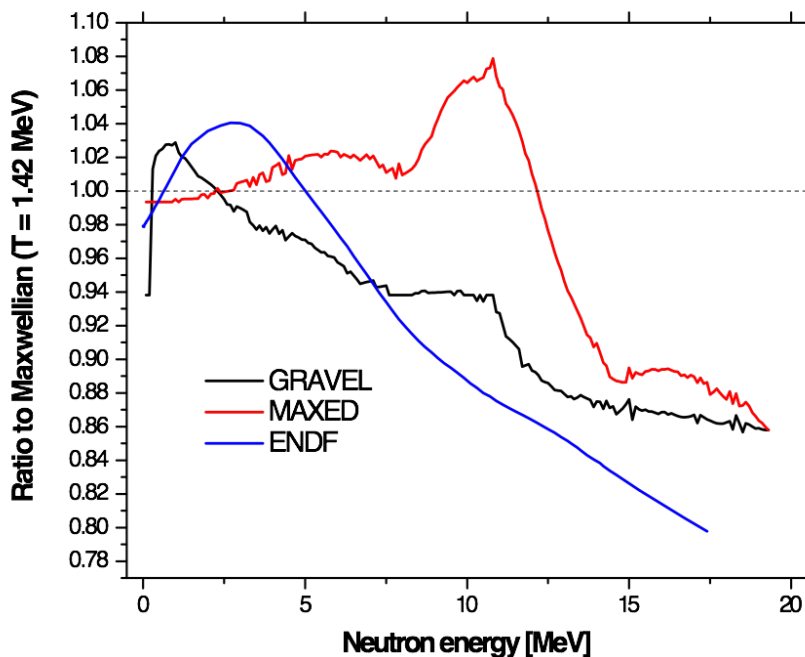
- Poređenje merenih i računatih vrednosti



Modelovanje neutronske spektra na osnovu aktivacione analize

Neutronski spektar

- Unfolding
 - 1) Maxwellian spectrum with $T=1.42$ MeV
 - 2) Mannhart calculated ^{252}Cf neutron spectrum



Poređenje dobijenog spektra sa standardnim ENDF ^{252}Cf spektrom

Određivanje parametara nuklearne strukture metodom merenja dvostepenih gama kaskada nakon neutronske zahvata

- Neophodno je dobijanje pouzdanih eksperimentalnih podataka za gustinu stanja jezgra i funkciju jačine prelaza
- **Razvoj metoda za određivanje ρ i Γ**
- Glavni problem : $\text{FWHM} \gg D_i$
- Metod merenja dvostepenih gama kaskada
- Model kaskadnog gama raspada
- Rezultati za 43 nuklida od ^{28}Al do ^{200}Hg

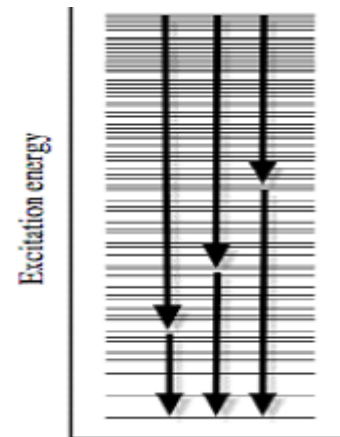
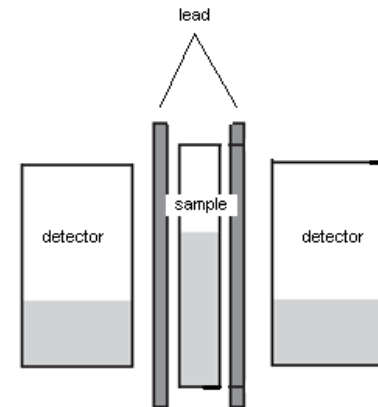
Određivanje parametara nuklearne strukture metodom merenja dvostepenih gama kaskada nakon neutronskega zahvata

- Dubna metod (FLNF, JINR)
- Merenje dvostepenih gama kaskada nakon neutronskega zahvata ($n,2\gamma$)



Određivanje parametara nuklearne strukture metodom merenja dvostepenih gama kaskada nakon neutronskega zahvata

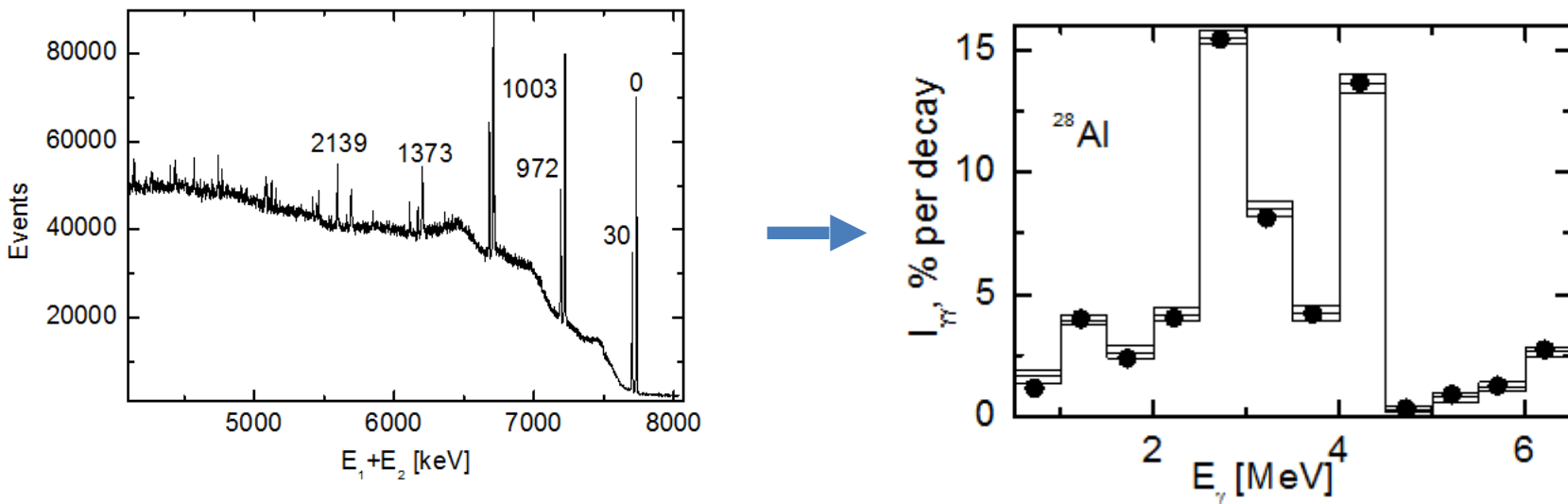
- Merenje dvostepenih gama kaskada nakon neutronskega zahvata ($n,2\gamma$)
- HPGe detektori u koincidentnom režimu merenja



Određivanje parametara nuklearne strukture metodom merenja dvostepenih gama kaskada nakon neutronskega zahvata

Intenzitet dvostepenih gama kaskada:

$$I_{\gamma\gamma}(E_1) = \sum_{\lambda,f} \sum_i \frac{\Gamma_{\lambda i}}{\Gamma_{\lambda}} \frac{\Gamma_{if}}{\Gamma_i} = \sum_{\lambda,f,i} \frac{\Gamma_{\lambda i}}{\langle \Gamma_{\lambda} \rangle m_{\lambda i}} \rho_{\lambda} \Delta E_i \frac{\Gamma_{if}}{\langle \Gamma_{if} \rangle m_{if}}$$



Određivanje parametara nuklearne strukture metodom merenja dvostepenih gama kaskada nakon neutronske zahvata

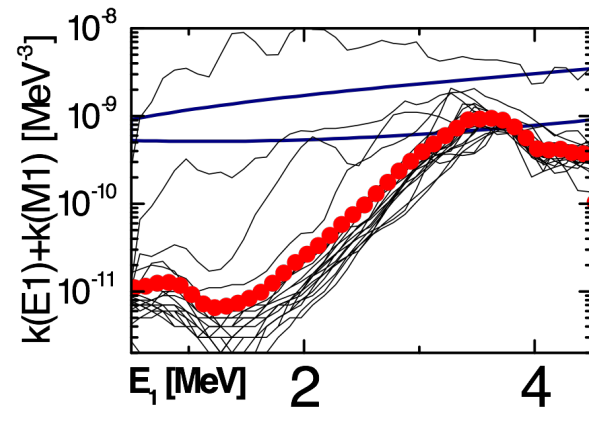
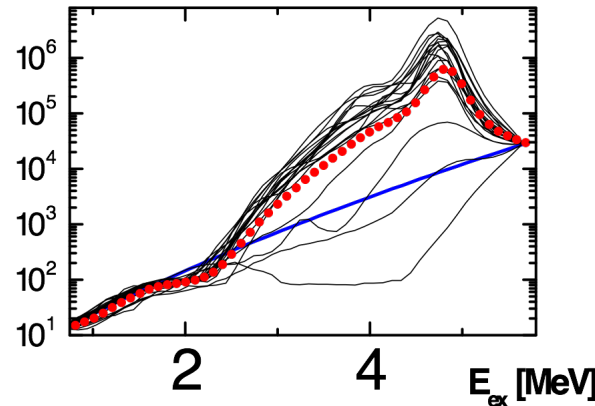
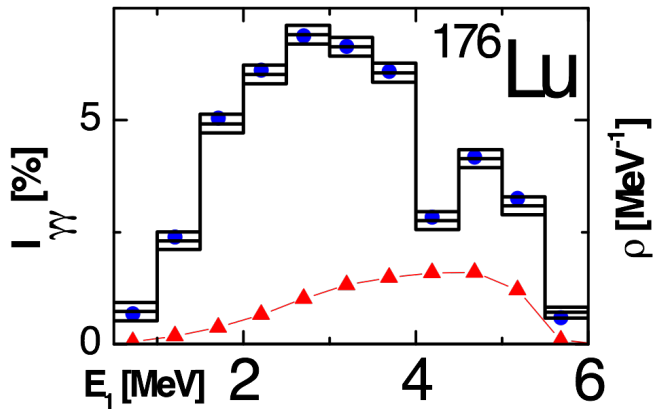
Iterativni metod

Korišćenjem iterativnog postupka sa slučajno odabranim funkcijama ρ i Γ , moguće je dobiti najverovatnije vrednosti gustine stanja i radijacione jačine.

N vrednosti eksperimentalnih intenziteta kaskada mogu uvek biti konvertovani u $\sim 2N$ vrednosti ρ i Γ u određenom intervalu:

$$\rho_1 \leq \rho \leq \rho_2$$

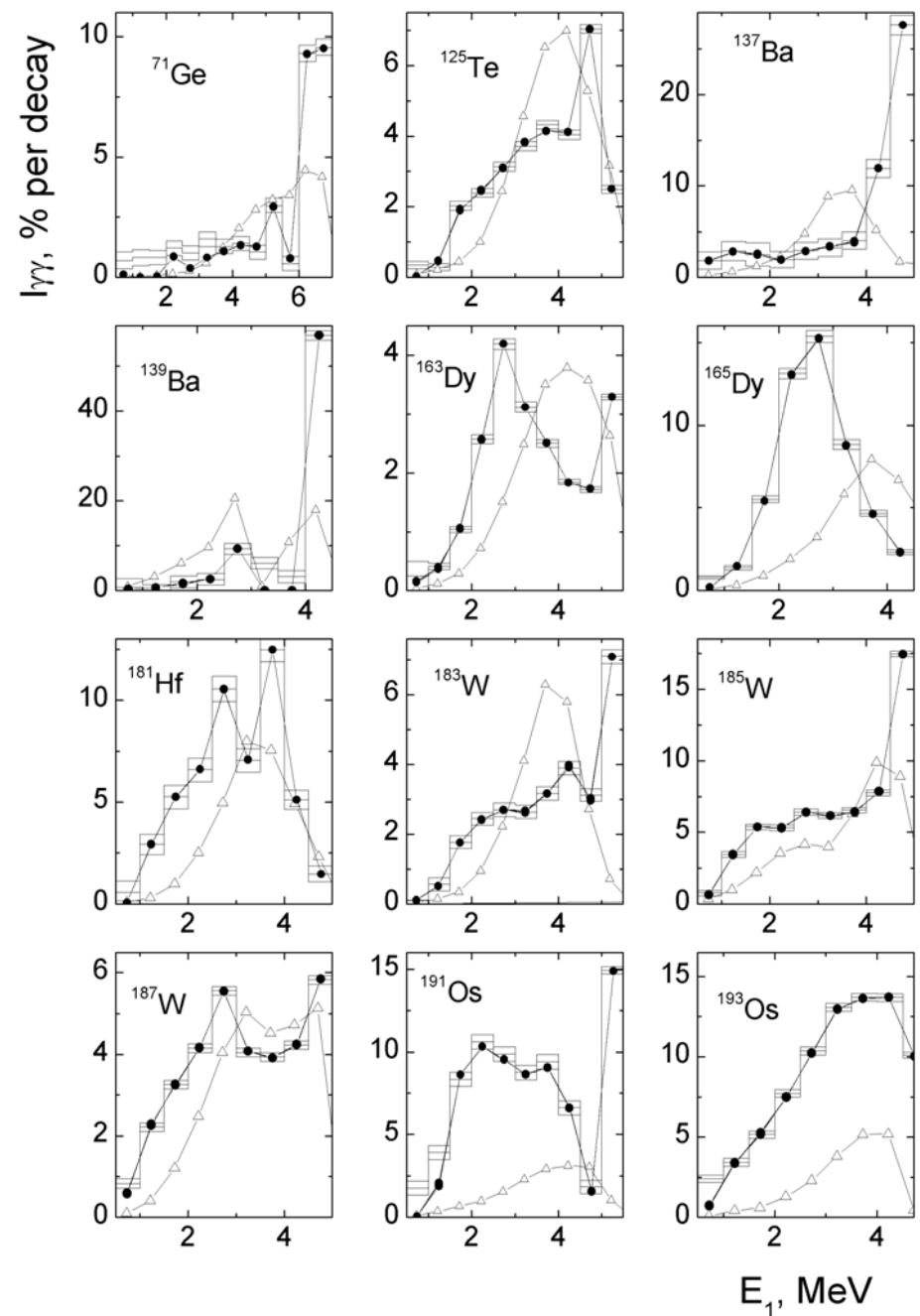
$$\Gamma_1 \leq \Gamma \leq \Gamma_2$$

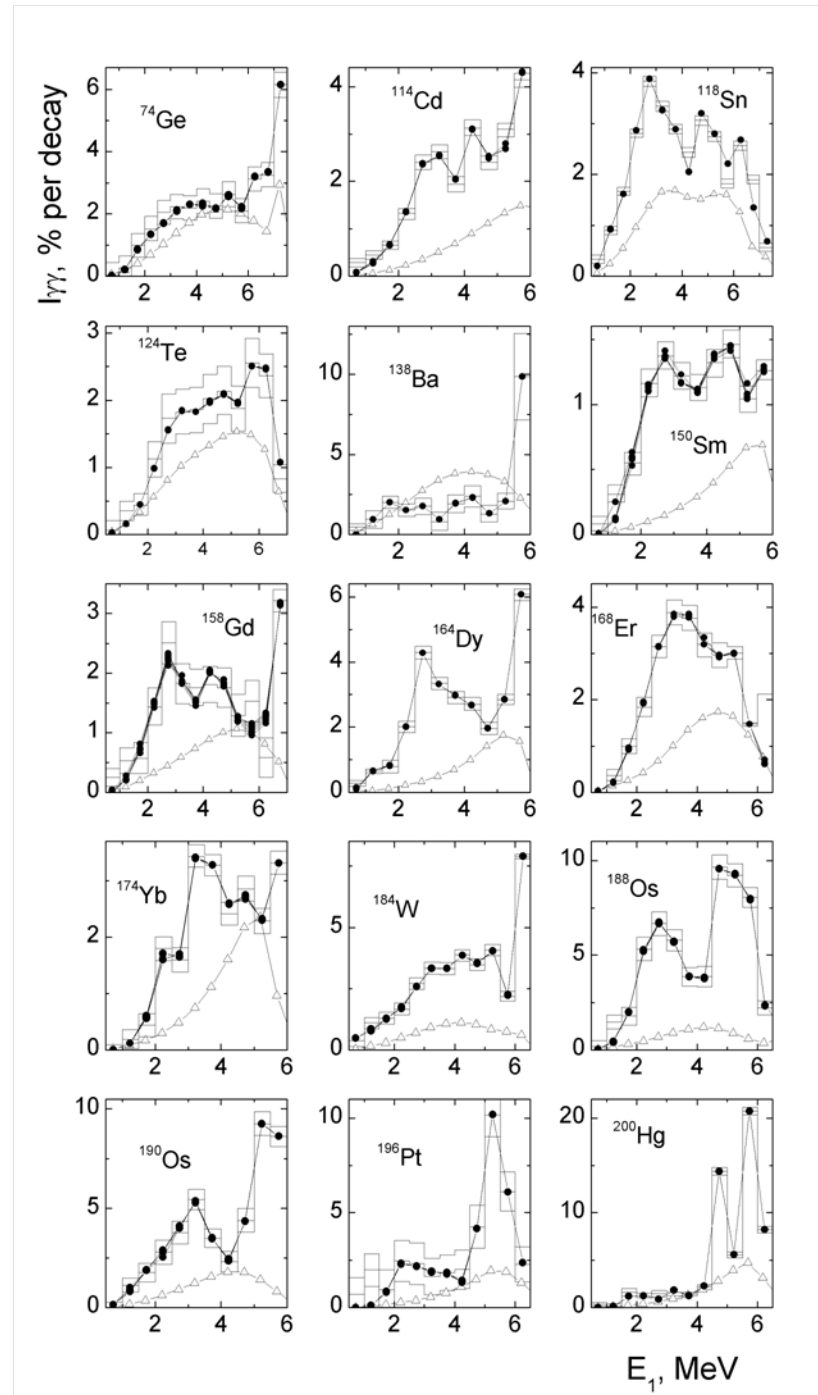


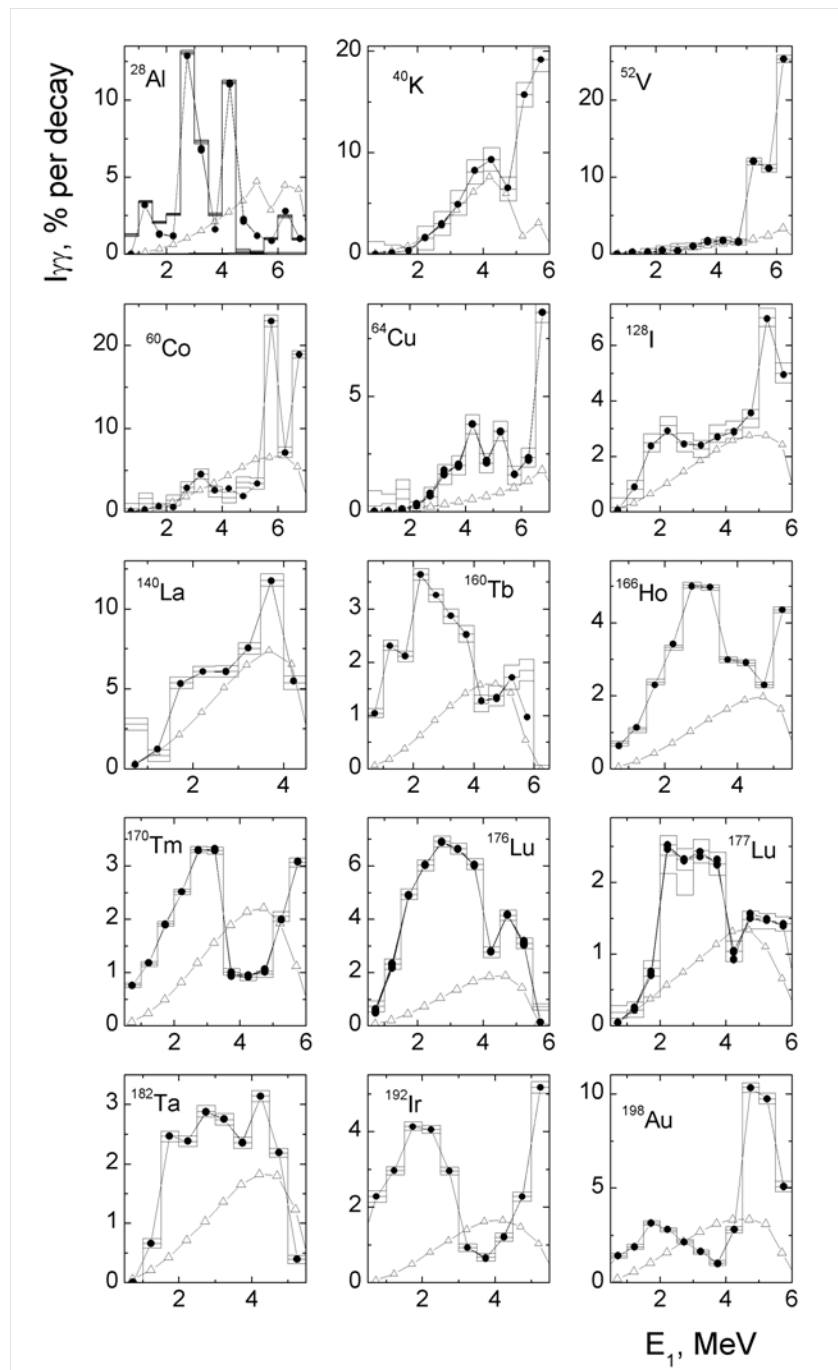
Zaključak

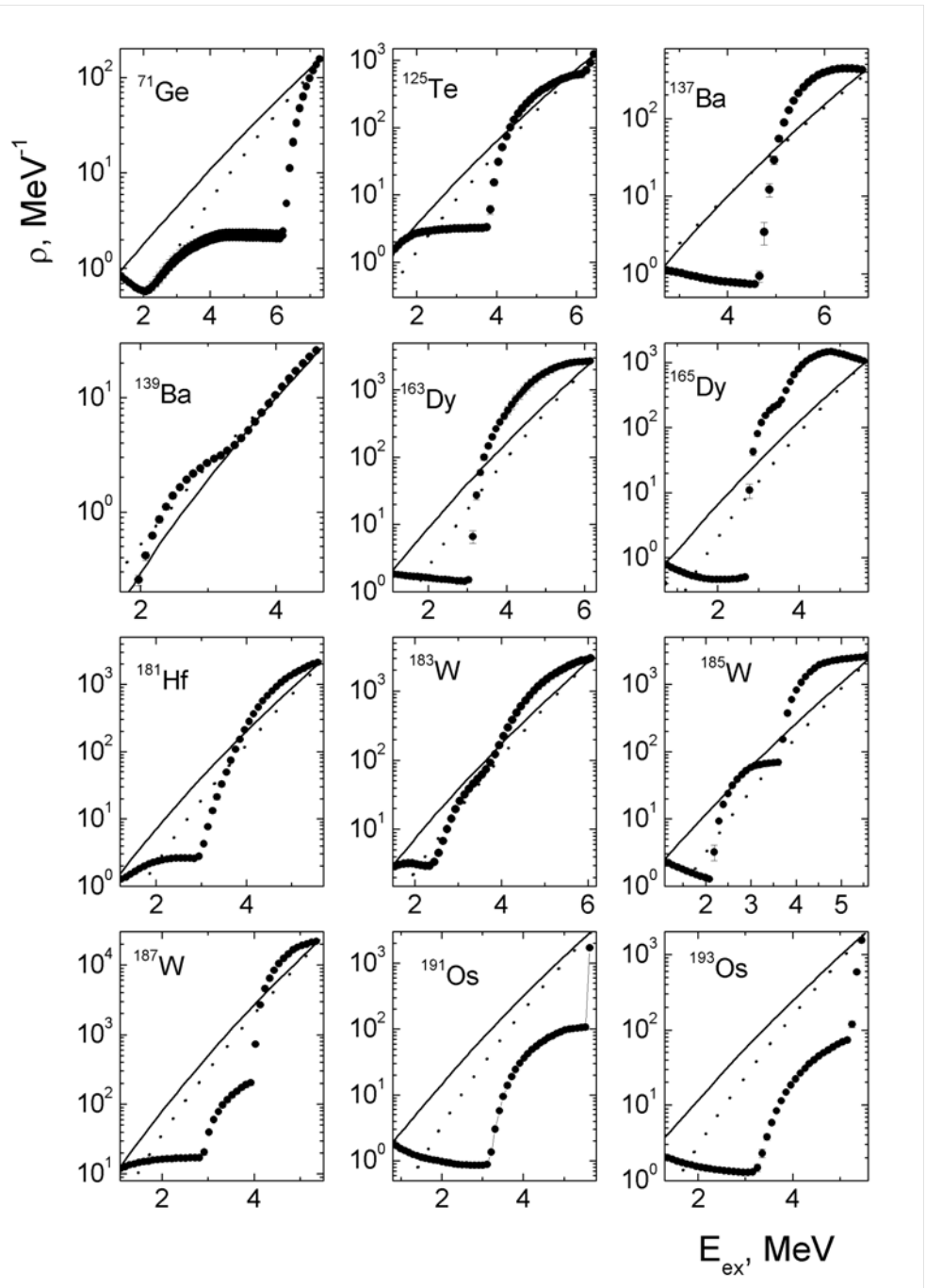
- Nuklearni podaci su važni kako za fundamentalna tako i za primenjena istraživanja.
- Postoji velika potreba za novim merenjima efikasnih preseka za različite neutronske nuklearne reakcije.
- Neophodno je bolje pozavanje PFNS.
- Dosadašnji podaci nameću potrebu za razvojem novih eksperimenata za određivanje parametara strukture atomskog jezgra.

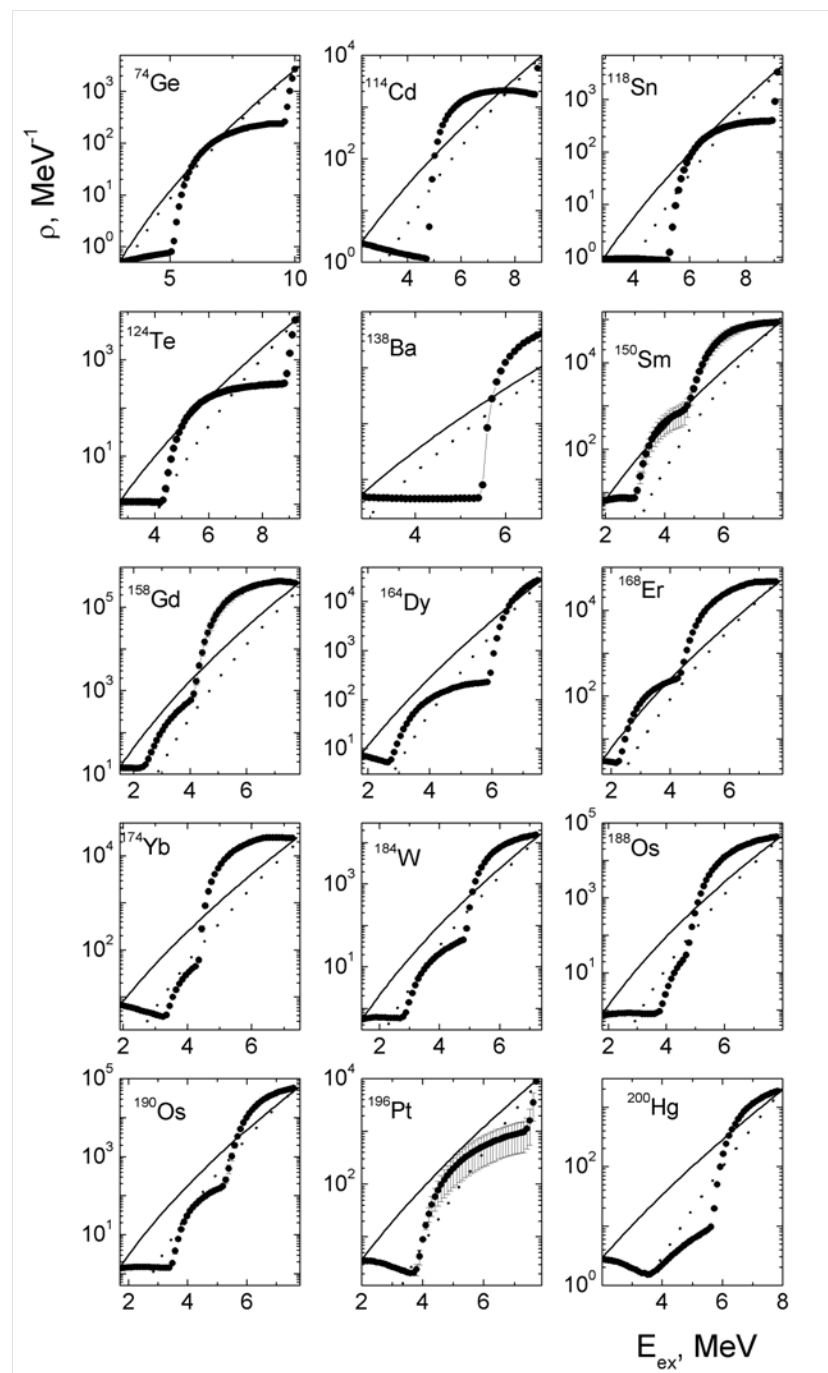
HVALA VAM NA VAŠOJ PAŽNJI!

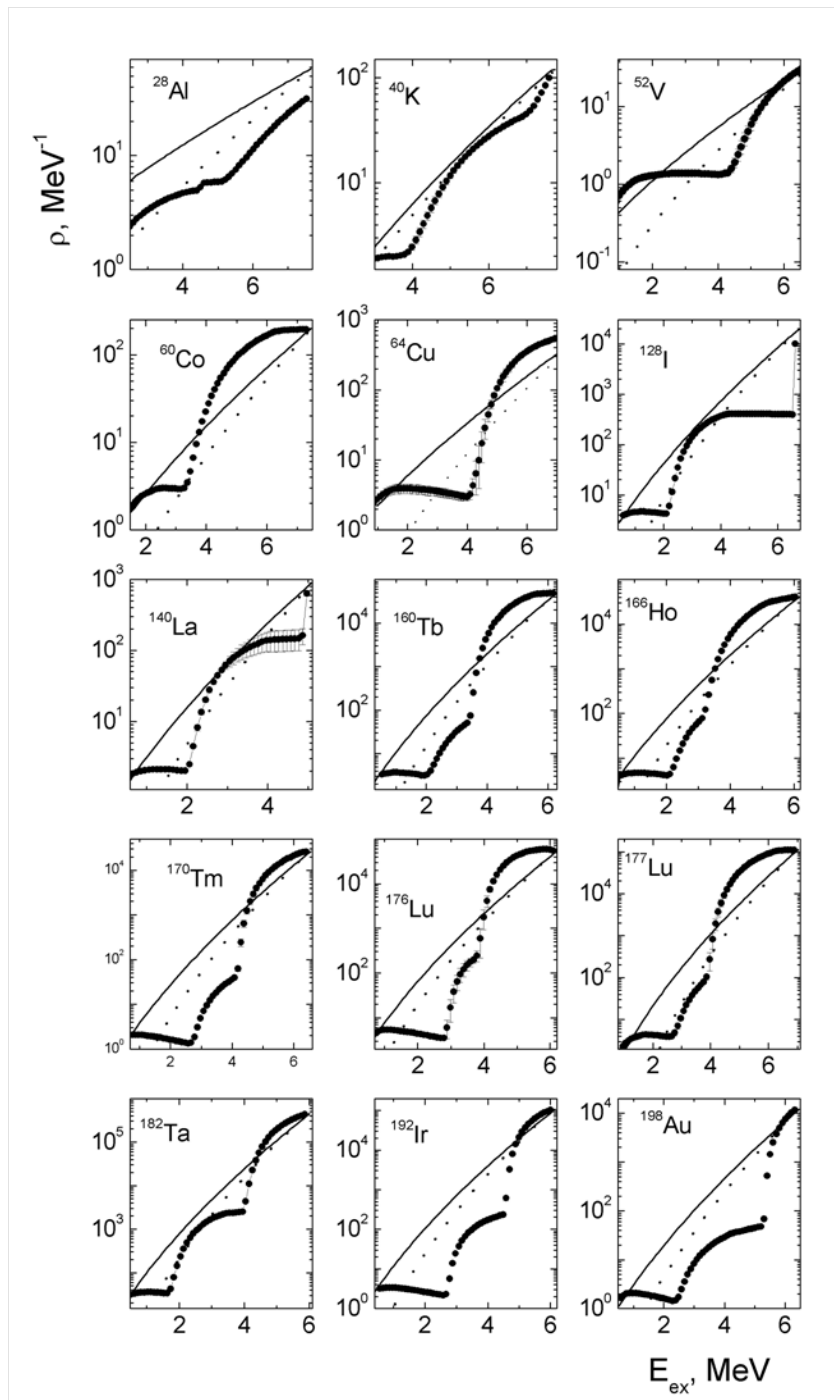


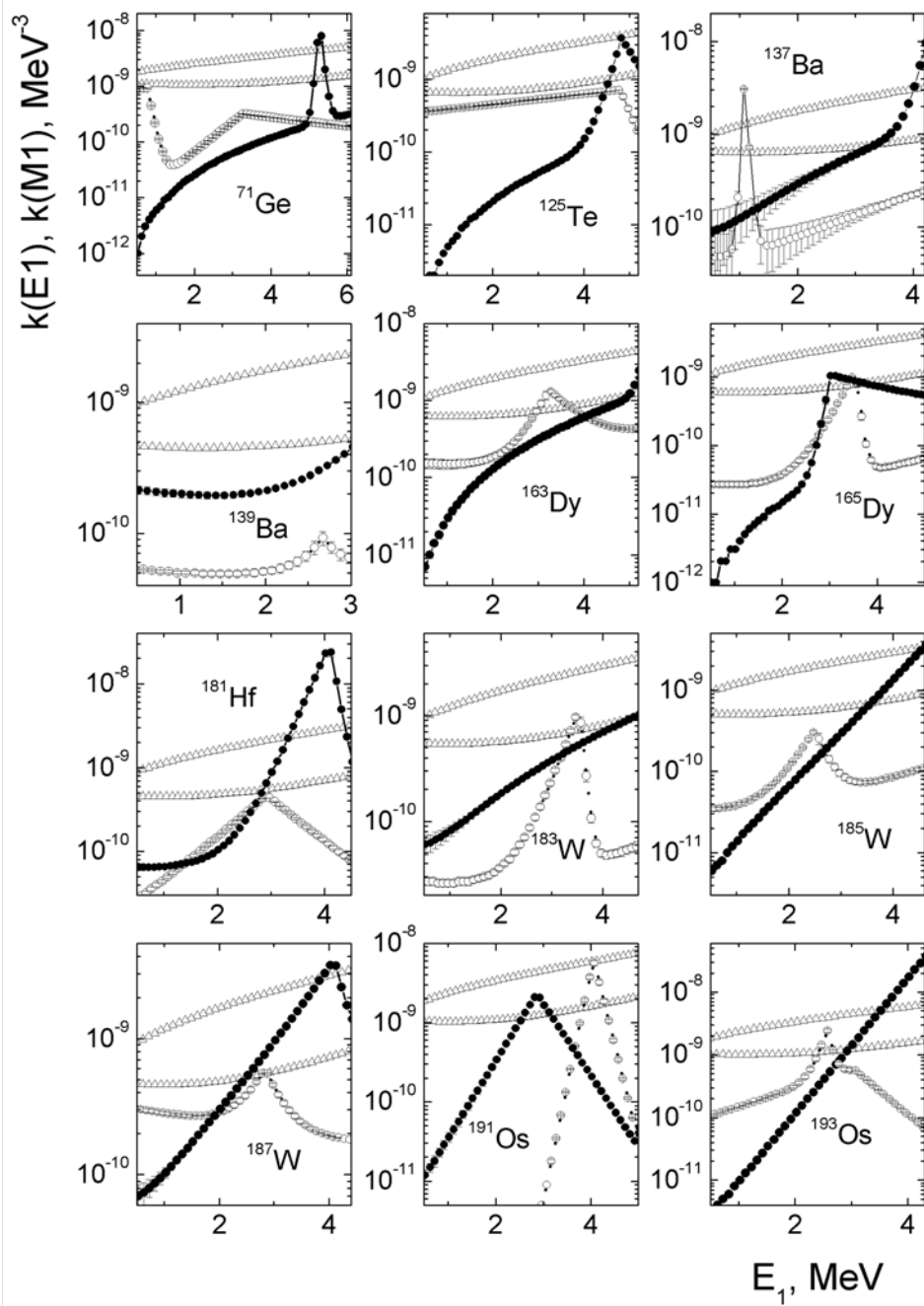


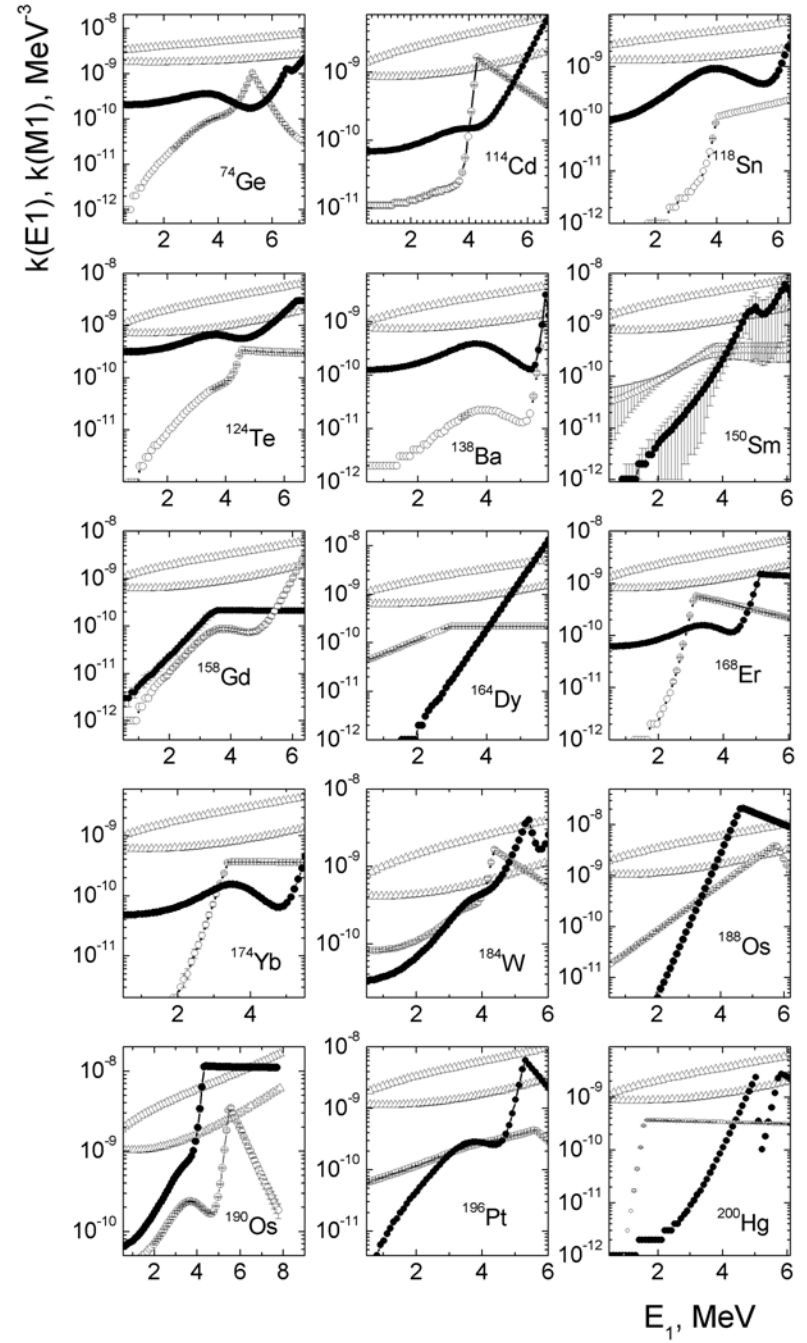


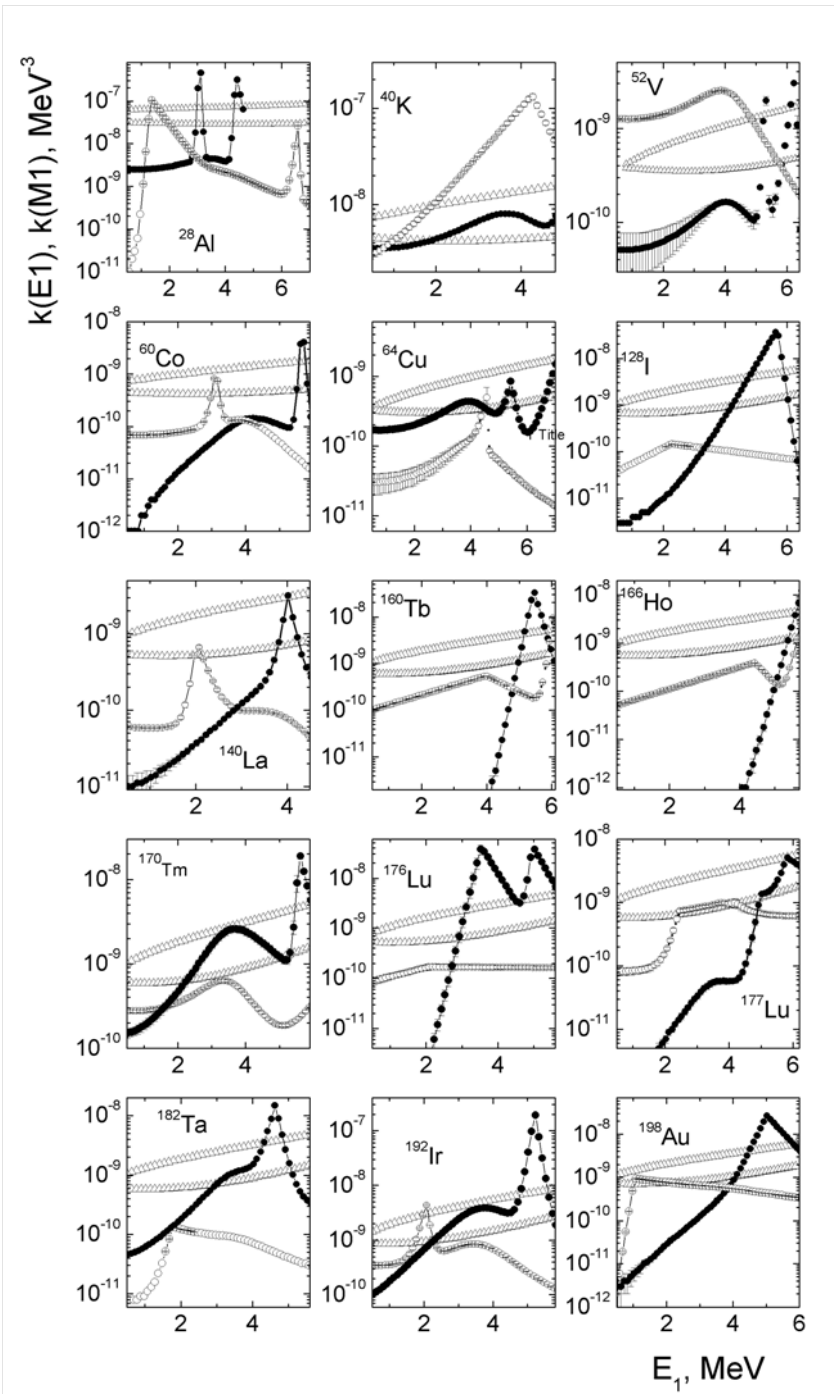


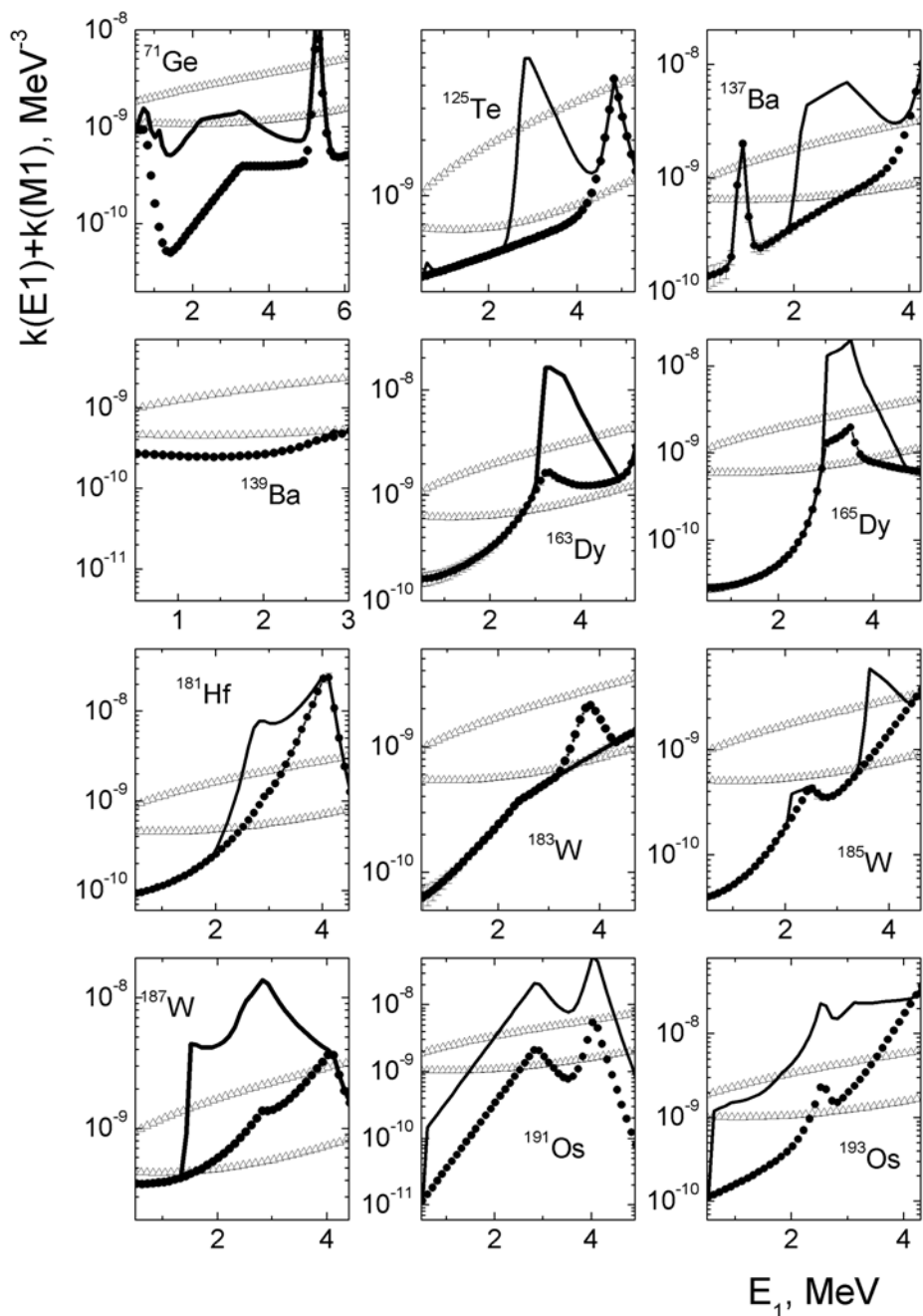


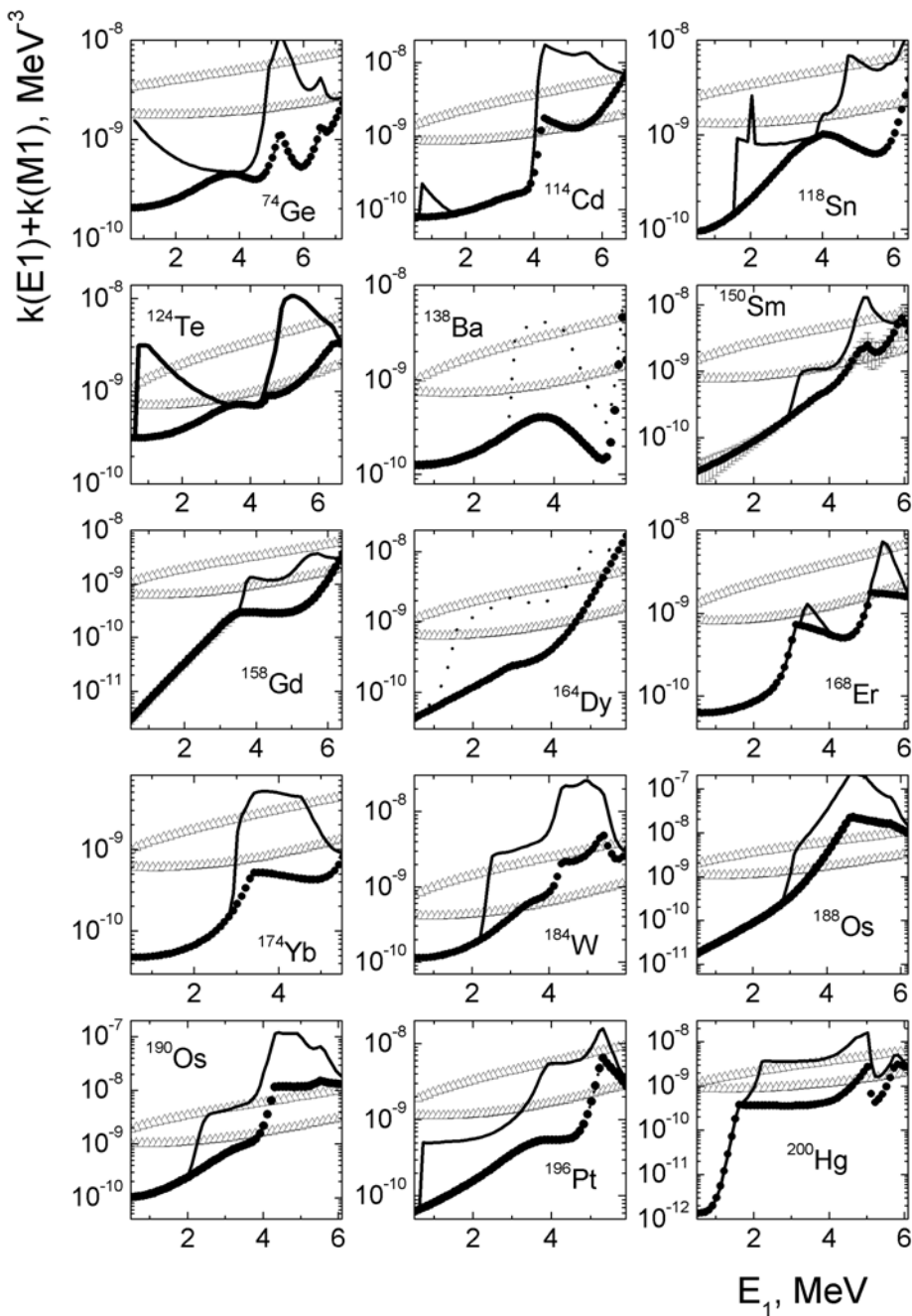


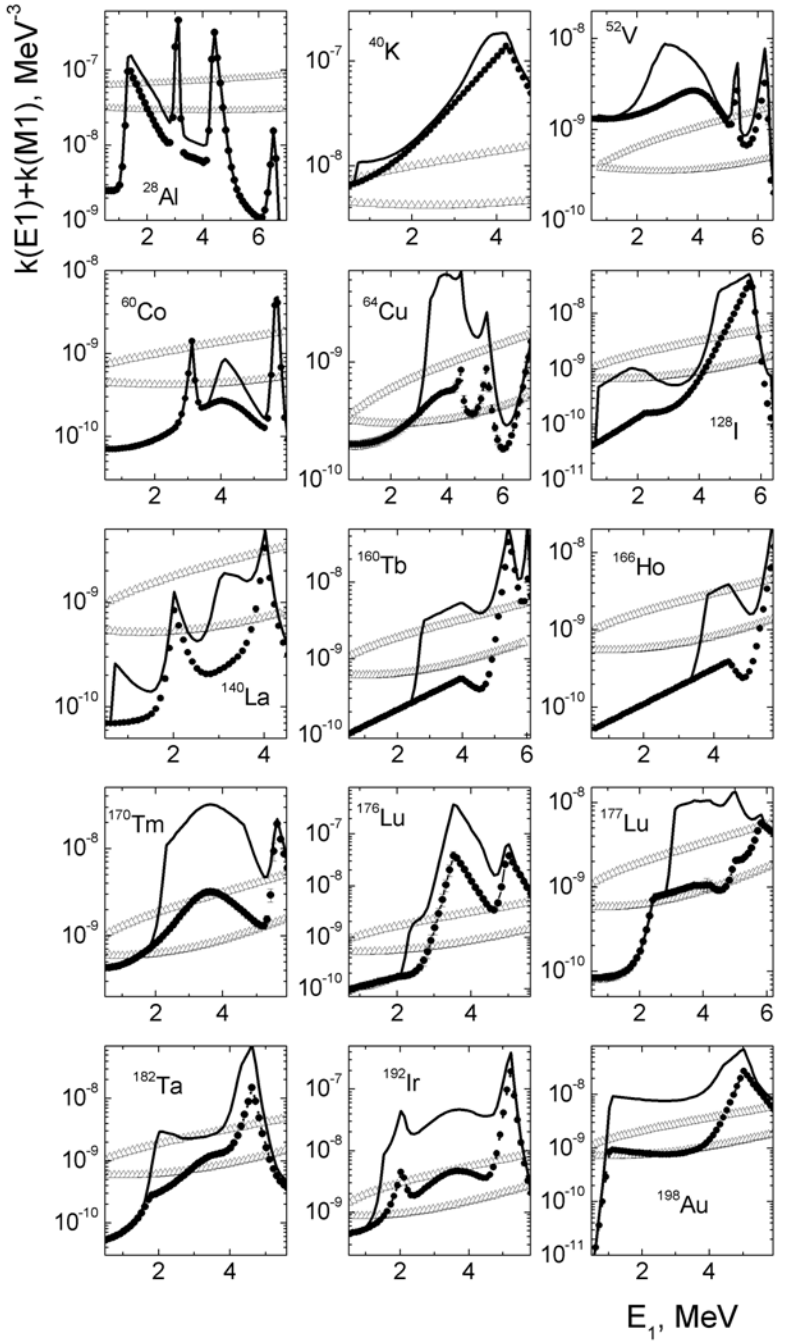


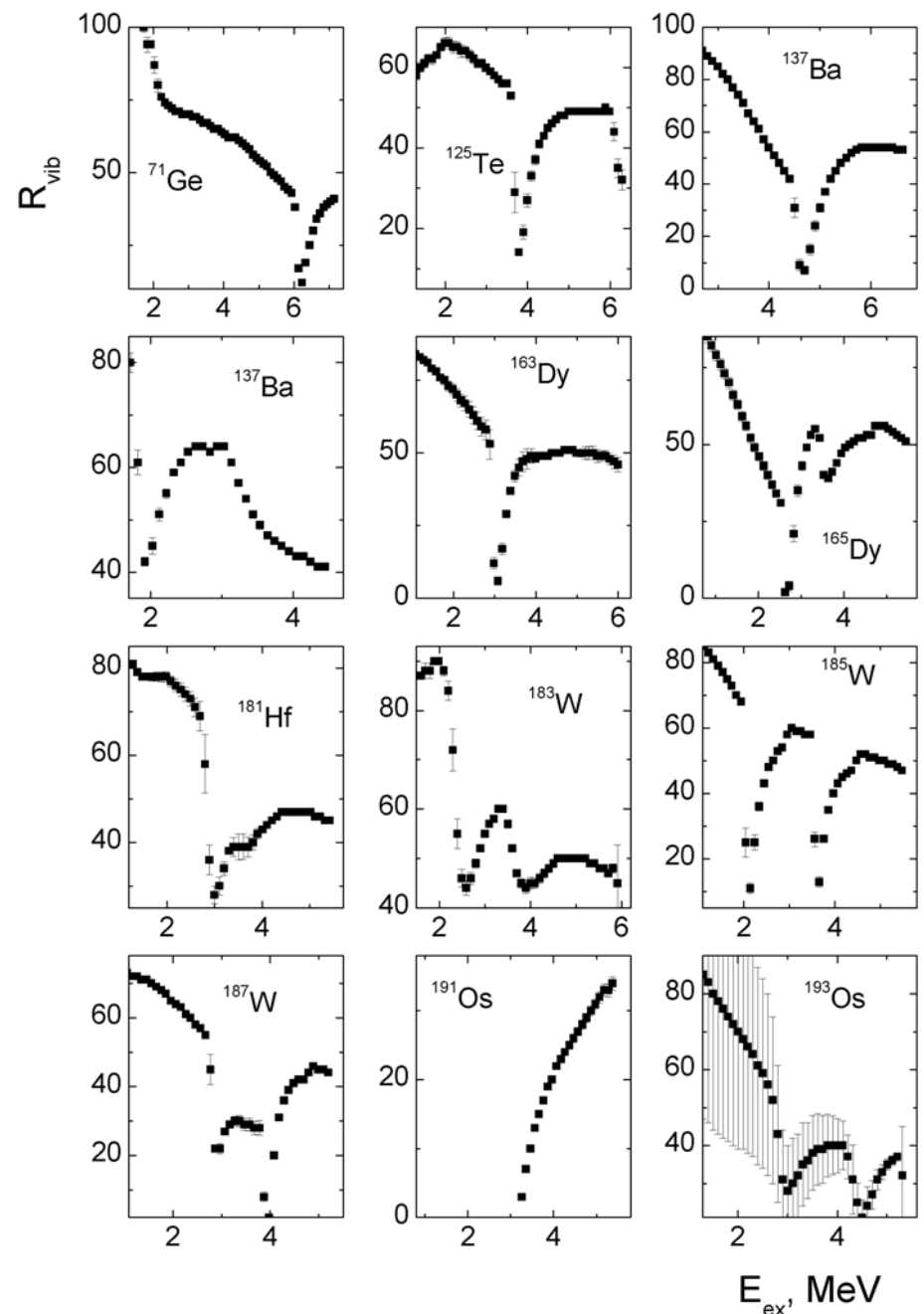


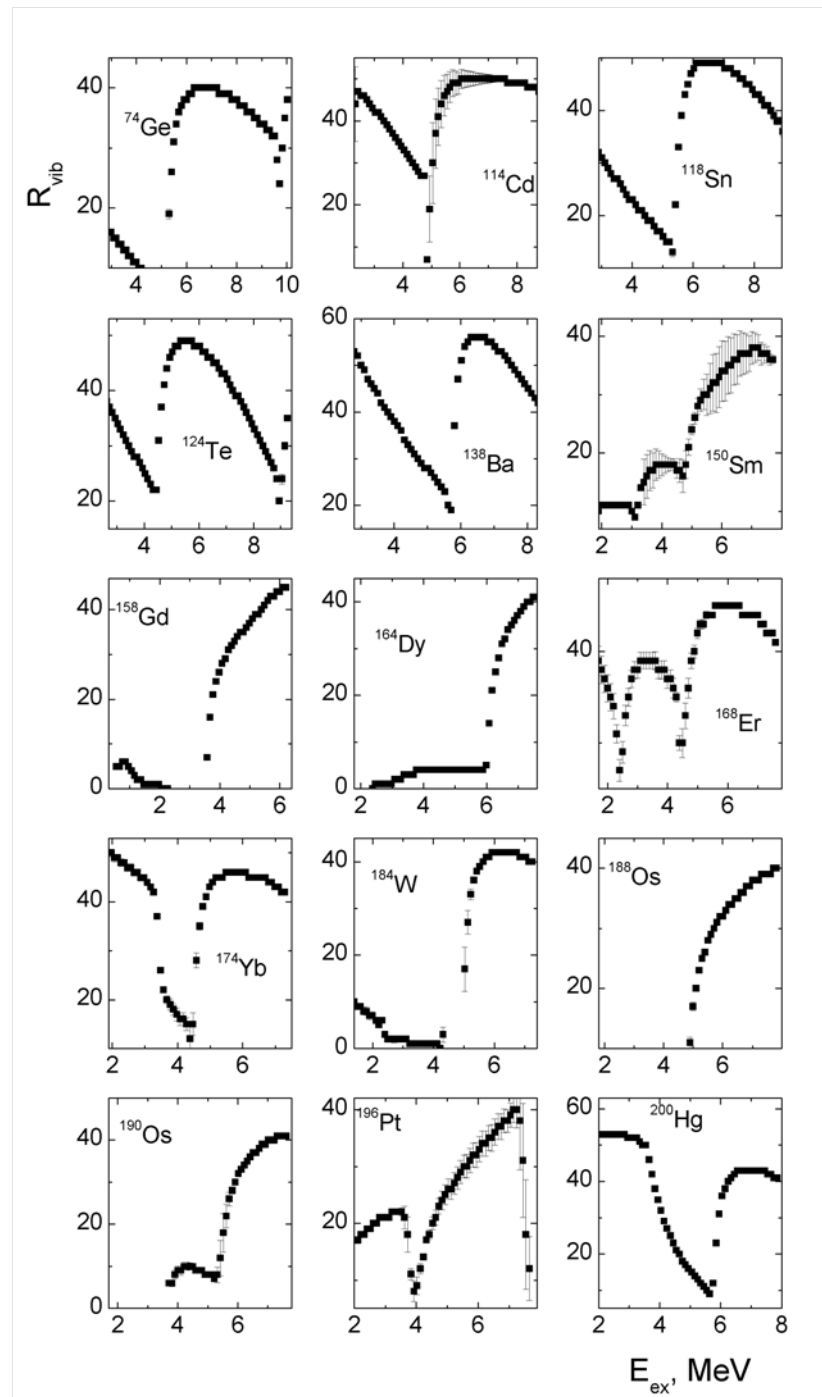


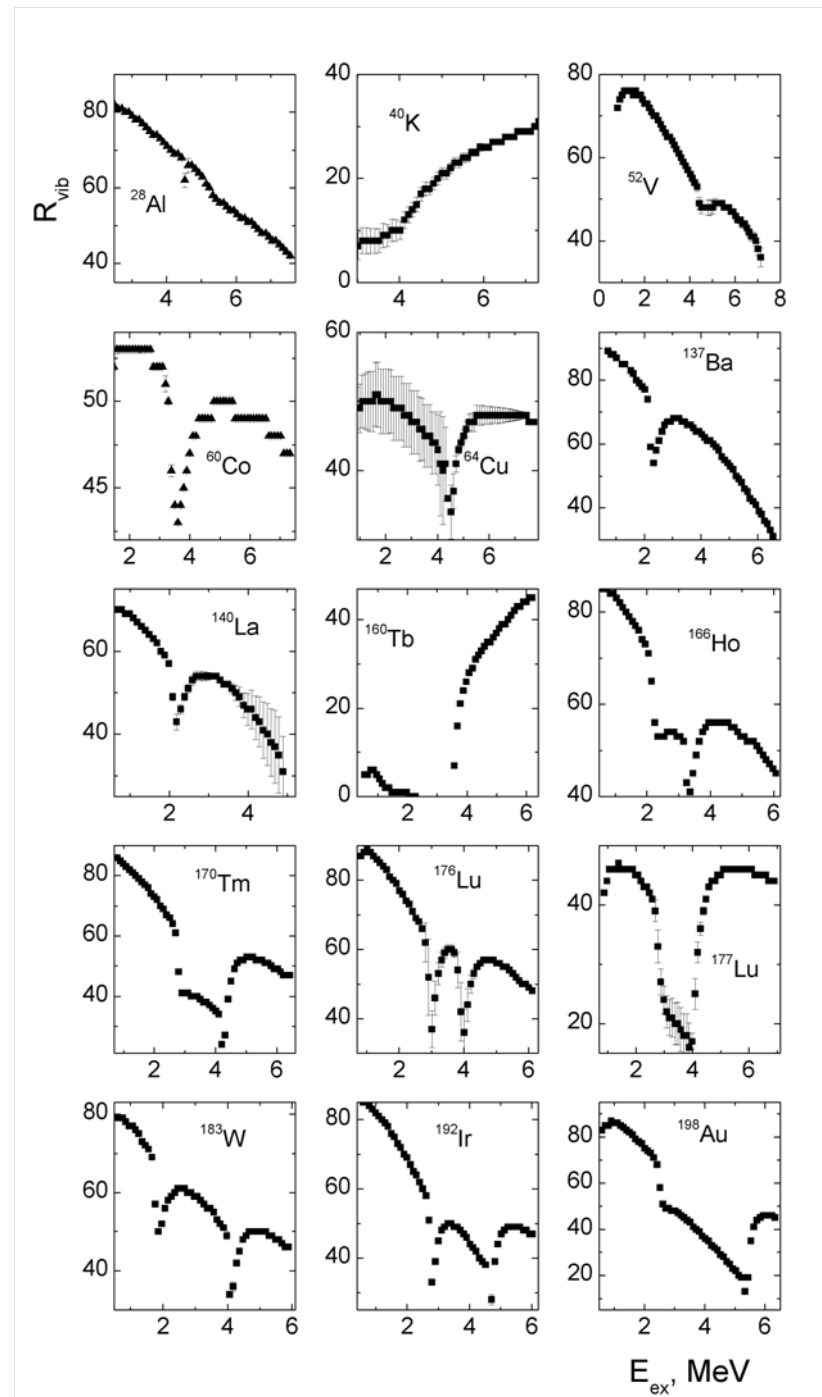


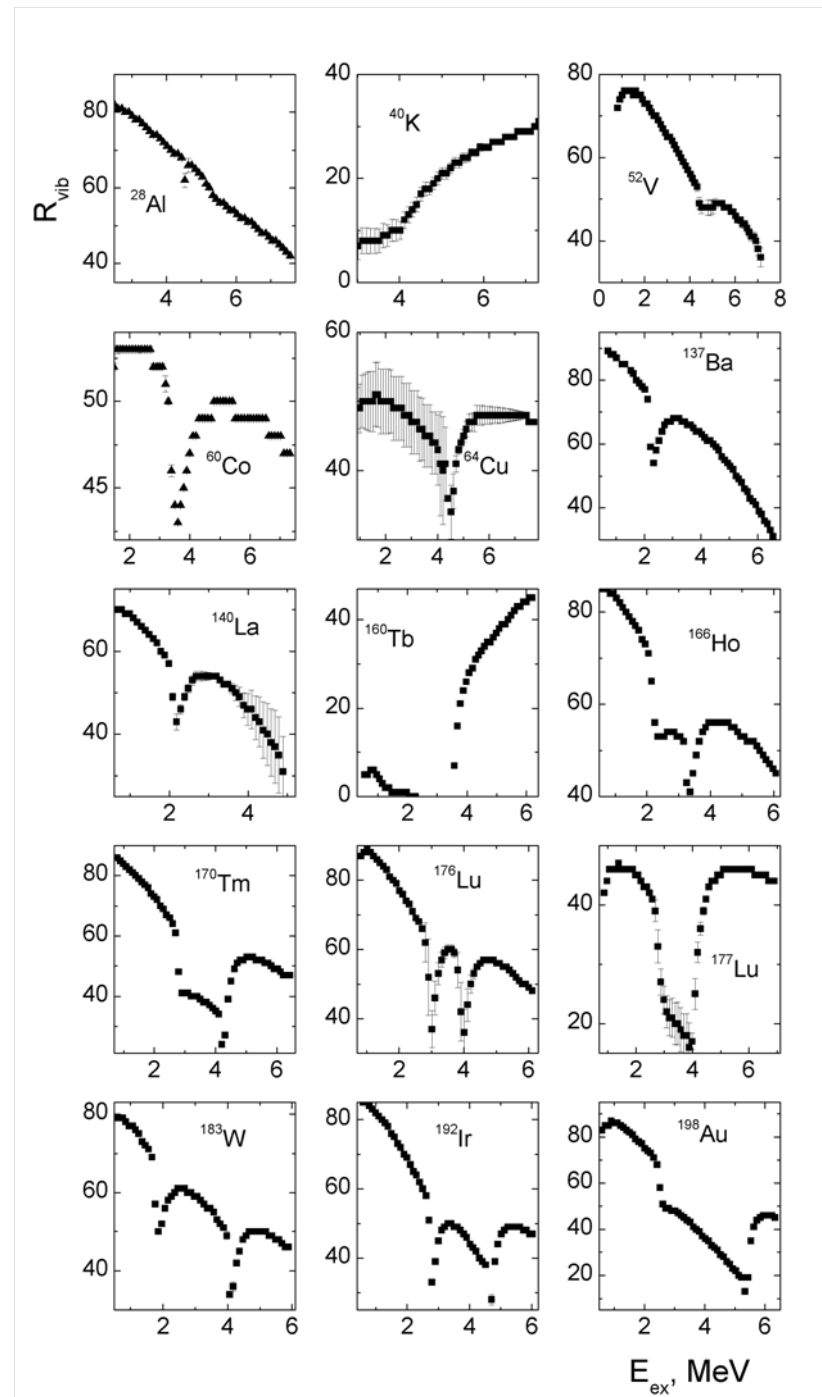












Određivanje parametara nuklearne strukture metodom merenja dvostepenih gama kasakada nakon neutronskog zahvata

- Phenomenological and theoretical representations are combined
-

The model level density

$$\rho_l = \frac{(2J+1)\exp(-(J+1/2)^2/2\sigma^2)}{2\sqrt{(2\pi)}\sigma^3} \Omega_n(E_{ex}) \quad \Omega_n(E_{ex}) = \frac{g^n(E_{ex} - U_l)^{n-1}}{((n/2)!)^2(n-1)!}.$$

The phenomenological coefficient C_{col} of the collective enhancement:

$$C_{col} = A_l \exp(\sqrt{(E_{ex} - U_l)/E_\nu} - (E_{ex} - U_l)/E_\mu) + \beta$$

$g=6a/\pi^2$ is the density of single-particle states

$$a(A,Z,E_{ex}) = \tilde{a} (1 + ((1 - \exp(-\gamma E_{ex})) \delta E/E_{ex})) \quad \tilde{a} = 0.114A + 0.162A^{2/3} \text{ and } \gamma = 0.054$$

Određivanje parametara nuklearne strukture metodom merenja dvostepenih gama kasakada nakon neutronskega zahvata

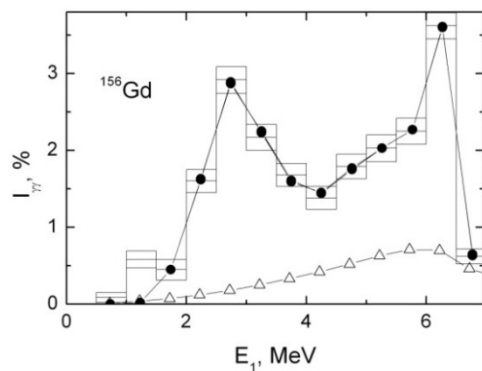
The model for $E1$ - and $M1$ -transition strength functions

$$k(E1, E_\gamma) + k(M1, E_\gamma) = w \frac{1}{3\pi^2 c^2 A^{2/3}} \frac{\sigma_G \Gamma_G^2 (E_\gamma^2 + \kappa 4\pi^2 T^2)}{(E_\gamma^2 - E_G^2)^2 + E_\gamma^2 \Gamma_\gamma^2} + \\ + P\delta^- \exp(\alpha_p(E_\gamma - E_p)) + P\delta^+ \exp(\beta_p(E_p - E_\gamma))$$

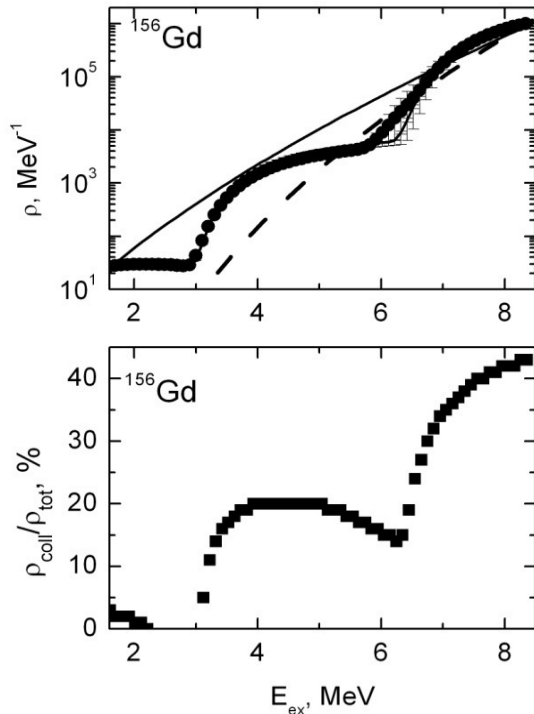
For our proposed model the set of fitted parameters is as following:

- 1) **the break up thresholds energies** U_l up to $l=4$,
- 2) **the E_μ and E_ν parameters**, which are common for all Cooper pairs,
- 3) the mutually independent **parameters** A_l of the density of vibrational levels above the break up threshold U_l ,
- 4) the **coefficients** w , κ and β ,
- 5) **the ratio r of negative parity and the total level density**.

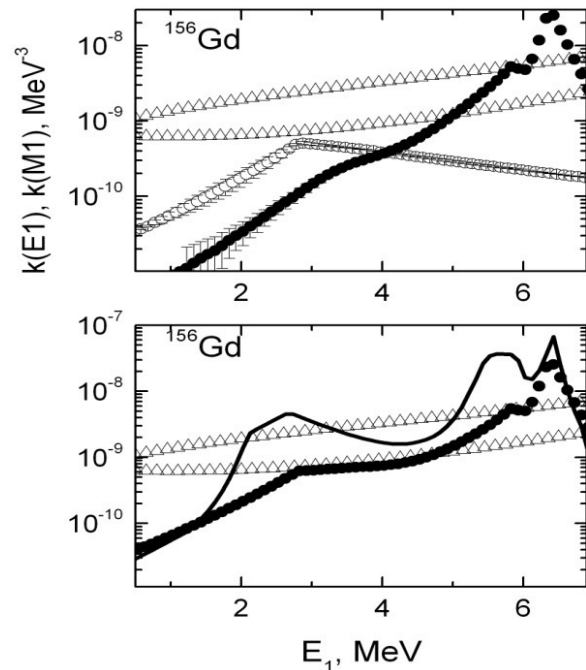
Određivanje parametara nuklearne strukture metodom merenja dvostepenih gama kasakada nakon neutronskog zahvata



43 nuclei
 $28 \leq A \leq 200$

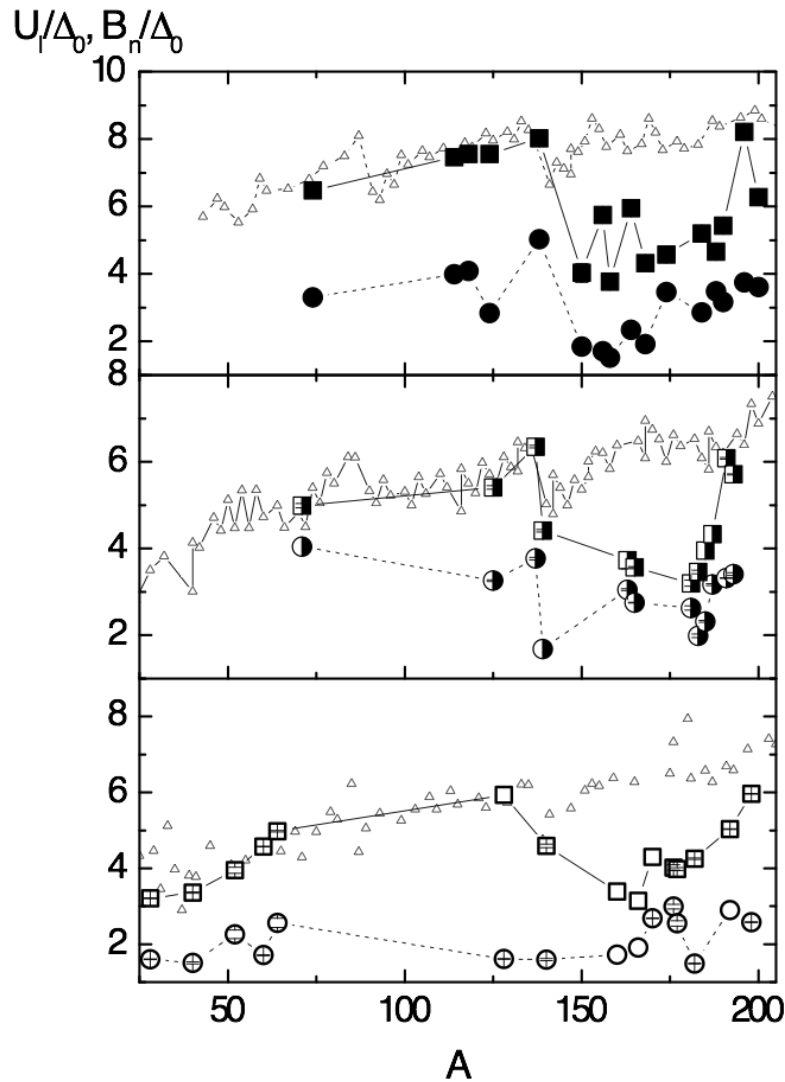


Level density of ^{156}Gd . Top panel: points are the best fit of level dashed line - using a value. Lower panel: calculated ratio of density of collective level to density of both collective and quasi-particle levels.



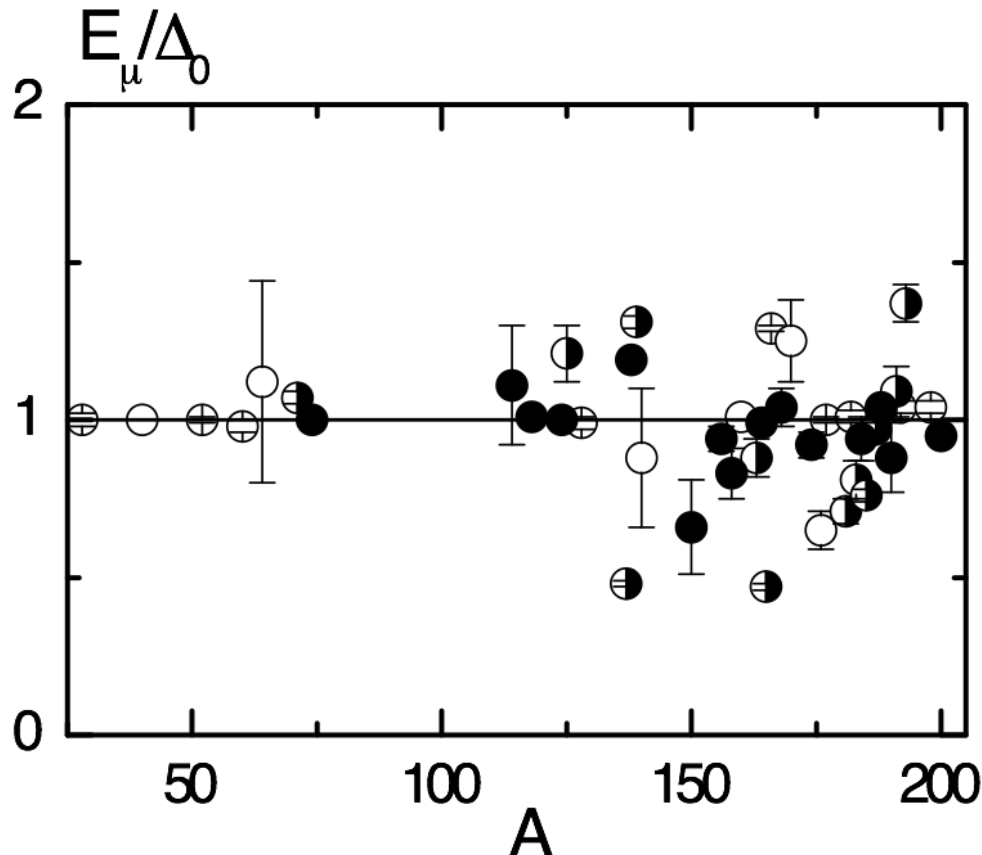
Strength function for ^{156}Gd . Top panel: solid points are the best fit of the strength function of $E1$ -transitions; open points are the best fit of the strength function of $M1$ -transitions. Lower panel: solid points are a sum of $E1$ - and $M1$ - strength functions; solid line is the sum of strength functions with taking into account condition $\rho_{\text{mod}}/\rho_{\text{exp}}$.

Određivanje parametara nuklearne strukture metodom merenja dvostepenih gama kasakada nakon neutronskog zahvata



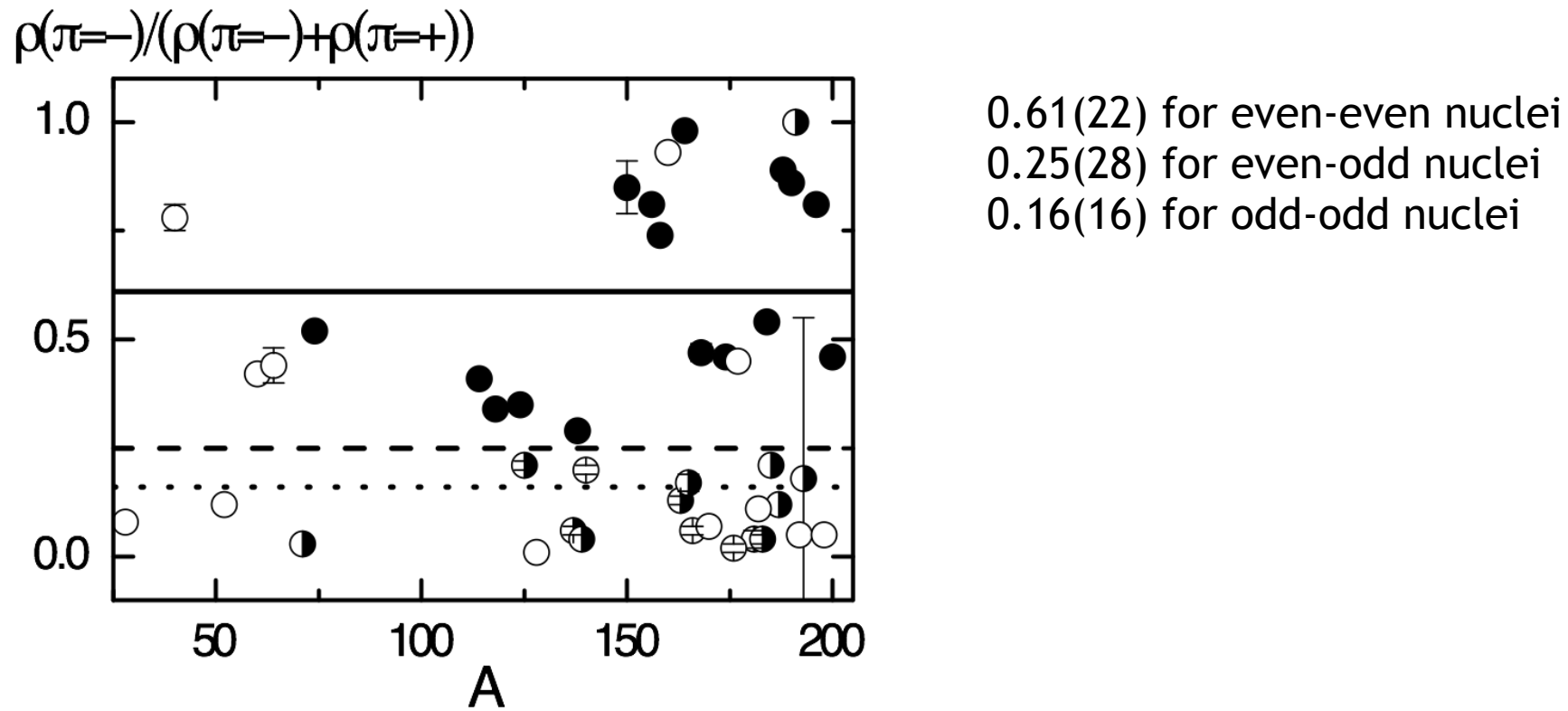
Dependence of break-up thresholds of the second (points) and the third (squares) Cooper pair on the nuclear mass A . Full points are even-even, half-open points are even-odd and open points are odd-odd compound nuclei. Triangles show the mass dependence of B_n/Δ_0 .

Određivanje parametara nuklearne strukture metodom merenja dvostepenih gama kasakada nakon neutronskog zahvata



Dependence of E_μ and E_ν model parameters on the nuclear mass A . Full points are even-even, half-open are even-odd and open points are odd-odd nuclei.

Određivanje parametara nuklearne strukture metodom merenja dvostepenih gama kasakada nakon neutronskog zahvata



Mass dependence of the ratio of the level density with negative level parity to the total level density in the point E_d (upper border of the level discrete region) and its middle value for even-even nuclei (solid lines), even-odd (dashed lines) and odd-odd nuclei(dotted lines).